

เอกสารอ้างอิง

- Akai, K. (1961), The Effect of Back Pressure on the Consolidation and the Shear of an Undisturbed Saturated Clay, Proc. 5th. Int. Conf. Soil Mech. & Found. Engng., Paris, Vol 1, pp.105-107.
- American Society for Testing Materials (1965), Standard Definition of Terms and Symbols Relating to Soil Mechanics (D 653-64), ASTM Standard, Part II, (D 653-64), Philadelphia, Pa.
- American Society for Testing Materials (1969), Procedures for Testing Soils, ASTM Standard, D 18.
- Barden, L. and Berry, P.L. (1965), Consolidation of Normally Consolidated Clay, J. SMFD, ASCE, V. 91, No. SM5, pp.15-35.
- Bishop, A.W. and Eldin, A.K.G. (1950), Undrained Triaxial Test on Saturated Sands and Their Significance in the General Theory of Shear strength, Géotechnique, V.2, pp.13-32.
- Bishop A.W. and Henkel, D.S. (1962), The Measurement of Soil Properties in the Triaxial Test, 2nd Ed, Edward Arnold, London.
- Bjerrum, L. (1967), Engineering Geology of Normally-Consolidated Marine Clays as Related to the Settlements of Buildings, Géotechnique, V.17, pp.83-118.
- Bjerrum, L. and Andersen, K.H. (1972), In Situ Measurement of Lateral Pressures in Clay, Publication 91, Norwegian Geotechnical Institute, Oslo, pp. 29-38
- Boripunt, S.(1968), Investigation of Secondary Compression Phenomenon in Bangkok Clay, M.Eng. Thesis No.221, AIT., Bangkok, Thailand.

- Brand, E.W. and Kang, B.H. (1972), Effect of Back Pressure on the Consolidation Behavior of Soft Bangkok Clay, Research Report No.14, AIT, Bangkok, Thailand.
- Brand, E.W. and Kanjanophas, S. (1971), Compressibility of Bangkok Clay in the Weathered Zone, Research Report No.10, AIT, Bangkok, Thailand.
- Brand, E.W. and Kim, S.K. (1971), Pore Pressure Developed During One-Dimensional Consolidation of Soft Bangkok Clay, Research Report No.11, AIT, Bangkok, Thailand.
- Buisman, A.S.K. (1936), Result of Long Duration Tests, Proc. 1st Int. Conf. Soil Mech. & Found. Engng., Cambridge, Mass., Vol.1, pp.103-105
- Burmister, D.M. (1951), The Application of Controlled Test Methods in Consolidation Testing, Symposium on Consolidation Testing of Soil, ASTM, Special Technical Publication No.126, pp.83-91.
- Burrows, R.E. (1948), An Experimental Study of Side Friction in the Consolidation Test, Master of Science Thesis, Department of Civil and Sanitary Engineering, Massachusetts Institute of Technology.
- Carman, P.C. (1956), Flow of Gases Through Porous Media, Academic Press, New York.
- Casagrande, A. (1936), The Determination of Preconsolidation Load and Its Practical Significance, Proc. 1st ICSMFE., Vol.3, pp.60-64.
- Casagrande, A. and Fadum, R.E. (1940), Note on Soil Testing for Engineering Purposes, Soil Mechanics Series No.8, Graduate School of Engineering, Harvard University, Cambridge, Mass.

- Chang, M.F.; Moh, Z.C.; Liu, H.H. and Viranuvut, S. (1977), A Method for Determining the In-Situ K_o Coefficient, Proc. 9th ICSMFE, Tokyo, Japan, Vol.1, pp.61-64.
- Chuang, H.K. (1972), Compressibility of Stiff Bangkok Clay, M.Eng., Thesis No.520, AIT, Bangkok, Thailand.
- Crawford, C.B. (1964), Interpretation of the Consolidation Test, J. SMFD, ASCE, Vol.90, No.SM.5, pp.87-102.
- Davis, E.H. and Poulos, H.G. (1963), Triaxial Testing and Three Dimensional Settlement Analysis, Proc. 4th. Aust. N.Z. Conf. Soil Mech. Found. Engng., Vol.1, pp.233-243.
- Davis, E.H. and Poulos, H.G. (1968), The Use of Elastic Theory for Settlement Prediction Under Three-Dimensional Conditions, Geotechnique, V.18, No.1, pp.67-91
- Davis, E.H. and Poulos, H.G. (1972), Rate of Settlement Under Two-and Three Dimensional Conditions, Geotechnique, Vol.22, No.1, pp.95-114.
- Davis, E.H. and Raymond, G.P. (1965), A Non-linear Theory of Consolidation, Geotechnique, Vol.15, pp.161-175.
- Eide, O. (1968), Geotechnical Problems with Soft Bangkok Clay on the Nakorn Swan Highway Project, Pub. No.78, Norwegian Geotechnical Institute, pp.1-4.
- Finn, W.D. and Nathan, N.D. (1962), Secondary Compression of Clay Discussion, J. SMFD., ASCE, Vol.88, No. SM.1, pp.65-66.
- Gibson R.E.; Englan, G.L. and HUSSEY, M.J.L. (1967), The Theory of One Dimensional Consolidation of Saturated Clay, Geotechnique Vol.17, pp.261-273.
- Gibson, R.E. and Lo, K.Y. (1961), A Theory of Consolidation for Soils Exhibiting Secondary Compression, Pub. No.41, Norwegian Geotechnical Institute.

- Gibson, R.E. and Lumb, P. (1953), Numerical Solution of Some Problems in the Consolidation of Clay, J. Instu. Civ. Engrs.1, Part 1, pp.182-198.
- Hanrahan, E.T. (1954), An Investigation of Some Physical Properties of Peat, Géotechnique, Vol.4, pp.108-123.
- Helenelund, K.V. (1953), Settlement studies in Finland, Proc. 3rd ICSMFE, Vol.1, pp.370.
- Ishii, Y.S. and Tateishi, T. (1957), Estimation of M_v and C_v Values for the Design of Sand Drains, Proc. 4th ICSMFE, London, Vol.1, pp.312-316.
- Ismail, M.A. (1977), Influence of Specimen Size on the Consolidation Properties of Soft Rangsit Clay, M. Eng. Thesis No.1006, AIT.
- Janbu, N. (1963), Soil Compressibility as Determined by Oedometer and Triaxial Tests, Proc. Euro. Conf. Soil Mech. & Found. Engng, Wiesbaden, Vol.1, pp.19-25.
- Kang, B.H. (1970), Effect of Back Pressure on the Consolidation Behavior of Soft Clay, M. Eng. Thesis No.343, AIT, Bangkok.
- Kanjanophas, Surindr (1970), Compressibility of Bangkok Clay in the Weathered Zone, M. Eng Thesis No.338, AIT, Bangkok.
- Katti R.K. and Sonpal, R.C. (1967), Primary and Secondary Consolidation Study with Pore Pressure Measurement, Proc. Southeast Asia Regional Conference on Soil Engineering, Bangkok, pp. 135-146.
- Kenny, T.C. (1967), Field Measurements of In-Situ Stresses in Quick Clay, Pub.76, Norwegian Geotechnical Institute, Oslo, pp.15-21.
- Kenny, T.C. (1968), A Review of Recent Research on Strength and Consolidation of Soft Sensitive Clays, Canadian Geotechnical Journal, Vol. 5, No.2, pp.97-119.

- Kim, S.K. (1970), Pore Pressure Development During One-Dimensional Consolidation of Soft Bangkok Clay, M. Eng. Thesis No.339, AIT, Bangkok.
- Ladd, C.C. (1971), Settlement Analysis in Cohesive Soil, MIT-Soils Publication No.272.
- Lambe, T.W. (1951), Soil Testing for Engineers, Wiley, New York.
- Lambe, T.W. (1962), Pore Pressure in a Foundation Clay, J. SMFD, ASCE, Vol. 88, No.SM2, pp.19-45.
- Lambe, T.W. (1964), Methods of Estimating Settlements, J. SMFD, ASCE, Vol.90, No.SM5, pp.43-67.
- Lambe, T.W. and Whitman, R.V. (1969), Soil Mechanics, Wiley, New York.
- Leonards, G.A. (1962), Foundation Engineering, Mc. Graw Hill, New York.
- Leonards, G.A. and Altschaeffl, A.G. (1964), Compressibility of Clay, J. SMFD, ASCE, Vol.90, No.SM.5, pp.133-155.
- Leonards, G.A. and Girault, P. (1961), A Study of the One Dimensional Consolidation Test, Proc. 5th. Int. Conf. Soil Mech.& Found. Engng., Paris, Vol.1, pp.213-218.
- Leonards, G.A. and Ramiah, B.K. (1959), Time Effect on the Consolidation of Clays, ASTM. Spec. Tech. Pub. No.254, pp.116-130.
- Leongnargtongdee, Boonlerd, (1971), One Dimensional Consolidation Characteristics of Artificially Sedimented Marine Clay, M. Eng. Thesis No.403, AIT, Bangkok.
- Lo, K.Y. (1961), Secondary Compression of Clays, J. SMFD, ASCE, Vol.87, No.SM.4, pp.61-87.
- Lowe, J.; Zaches, P.F. and Feldman, H.S. (1964), Consolidation Testing with Back Pressure, J. SMFD., ASCE, Vol.90, No.SM.5, pp.69-81

- Marsal, R.L.; Sandoval, R. and Hiriart, F. (1950), Curvas 'Deformacion Tiempo' en las Arcillas del Valle de Mexico, Ingenferia Civil, Colegio de Ingenieros Civiles de Mexico, Auo II, Num. V, pp. VII-17.
- Mesri, G. (1973), Coefficient of Secondary Compression, J. SMFD, ASCE, Vol.90, No. SM.5, pp.69-86.
- Moh, Z.C.; Nelson, J.D. and Brand, E.W. (1969), Strength and Deformation Behavior of Bangkok Clay, Proc. 7th ICSMFE, Maxico City, Vol.1, pp.287-293.
- Muktabhant . Chai; Teerawong, Pairoj and Tengamnuay, Vichien (1966), Engineering Properties of Bangkok Subsoils, Chulalongkorn University, Bangkok.
- Nanegrungsunk, Boonthep (1976), Consolidation Characteristics of Pathumwan Clay, M.Eng. Thesis No.900, AIT, Bangkok.
- Newland, P.L. and Allely, B.H. (1960), A Study of the Consolidation Characteristics of Clay, Géotechnique, Vol. 10, pp.62-74.
- Northey, R.D. (1956), Rapid Consolidation Test for Routine Investigations, Proc. 2nd. Australia-New Zealand CSMFE, Christchurch, New Zealand, pp.20-26.
- Northey, R.D. and Thomas, R.F. (1965), Consolidation Test Pore Pressures, Proc. 6th. ICSMFE, Montreal, Vol.1, pp.323-327.
- Paaswell, R.E. (1967), Temparature Effects on Clay Soil Consolidation, J. SMFD, ASCE, Vol.93, No.SM7, pp.9-22.
- Parry, R.H.G. (1960), A Small Oedometer for Field Use, Proc. 3rd. Aust.-N.Z. CSMFE, Sydney, Australia, pp.23-24.
- Poulos, H.G. and Davis, E.H. (1972), Laboratory Determination of In-Situ Horizontal Stress in Soil Masses, Géotechnique, Vol.22, pp.177-182.

- Reinmanorom, Somporn (1974), One-Dimensional Consolidation Characteristics of Soft Nong Ngoo Hao Clay, M.Eng. Thesis No.703, AIT, Bangkok.
- Rowe, P.W. (1972), The Relavance of Soil Fabric to Site Investigation Practice, Géotechnique, Vol.22, No.2, pp.195-300.
- Schmertmann, J.H. (1953), Estimating the True Consolidation Behaviour from Laboratory Test Results, Proc. ASCE, Vol.79, Separate No.311.
- Schmidt, B. (1966), Discussion of "Earth Pressure at Rest Related to Stress History", Canadian Geotechnical Journal, Vol.3, No.4, pp.239-242.
- Scott, R.F. (1961), New Method of Consolidation-Coefficient Evaluation, J. SMFD, ASCE, Vol.87, No.SM.1, pp.29-39.
- Sherif, M.A. and Ishibashi, I. (1981), Overconsolidation Effects on K_0 Values, Proc. 10th. ICSMFE, Stockholm, Vol.1, pp.785-788
- Skempton, A.W. (1944), Note on the Compressibility of Clays, Quart. J. Geol. Soc., London, pp.119-135.
- Skempton, A.W. (1954), The Pore Pressure Coefficient A and B, Géotechnique, Vol.4, No.4, pp.143-147.
- Taesiri, Youngyuth (1976), Consolidation Characteristics of Rangsit Clay, M. Eng. Thesis No.918, AIT, Bangkok.
- Tan, T.K. (1957), Secondary Time Effects and Consolidation of Clays, Academic Sinica, Inst. of Civil Engng. and Architecture, Harbin, China.
- Taylor, D.W. (1942), Research on Consolidation of Clays, Pub. No.82, Dept. of Civil and Sanitary Eng., MIT., Cambridge, Mass.
- Taylor, D.W. (1948), Fundamental of Soil Mechanics, Wiley, New York.
- Terzaghi, K. (1925), Erdbaumechanik, Franz Deuticke Vienna.

- Terzaghi, K. and Peck, R.B. (1948), Soil Mechanics in Engineering Practice, Wiley, New York.
- Teves, A.S. (1967), Compressibility of Bangkok Clay, M.Eng. Thesis No.190, Seato Graduate School of Engineering, Bangkok.
- Teves, A.S. and Moh, Z.C. (1968), Compressibility of Soft and Medium Bangkok Clays, Research Report No.4, AIT, Bangkok.
- Thompson, J.B. and Palmer, L.A. (1951), Report of Consolidation Tests with Peat, Symposium on Consolidation Testing of Soil, ASTM Spec. Tech. Pub. No.126, pp.4-7.
- Van Zelst, T.W. (1948), An Investigation of the Factors Affecting Laboratory Consolidation of Clay, Proc. 2nd. ICSMFE, Rotterdam, Vol.1, pp.52-61.
- Wahls, H.E. (1962), Analysis of Primary and Secondary Consolidation, J. SMFD, ASCE, Vol.88, No.SM.6, pp.207-231.
- ว.ส.ท. (2520) "ข้อมูลสภาพดินบริเวณลุ่มแม่น้ำเจ้าพระยาตอนล่าง".

ภาคผนวก ก.

การหาค่า K_0 Coefficient โดยวิธี ADSTM ของ CHANG

การหาค่า K_0 Insitu โดยวิธี Allowable Deviator Stress Testing

Method (ADSTM)

CHANG et al (1977) ได้เสนอวิธีการหาค่า K_0 Insitu ในห้องทดลอง ซึ่งใช้ได้กับดินที่เป็น normally consolidated clay และ lightly overconsolidated soils มีวิธีการหาค่าดังรายละเอียดต่อไปนี้

วิธีการทดลอง

1. เตรียมดินตัวอย่างเข้าในเครื่อง และทำให้ดินอิ่มตัวโดยเลือกใช้ back pressure ที่เหมาะสม ตามวิธีมาตรฐานของ BISHOP & HENKEL (1957)

2. ทำการอัดตัวคายน้ำแบบไอโซทรอปิก โดยใช้แรงดันเซลล์ (Cell pressure) เท่ากับ $0.4-0.5 \bar{\sigma}_{vo}$ สำหรับ lean clay และ $0.5-0.6 \bar{\sigma}_{vo}$ สำหรับ fat clay ซึ่งค่าแรงดันเซลล์ที่ใช้ไม่ควรจะต่ำกว่า $\bar{\sigma}_{ho}$ เล็กน้อย ระยะเวลาในการอัดตัวคายน้ำประมาณ 1-2 วัน จนกระทั่งสิ้นสุด Primary consolidation

3. หลังจากสิ้นสุด Primary consolidation แล้ว ทำการลดบันทึก volume change (ΔV_m) และการยุบตัวในแนวตั้ง การยุบตัวในแนวตั้งคู่กับพื้นที่หน้าตัดดิน จะมีค่าเท่ากับ ΔV_c ซึ่งเรียกว่า calculated volume change จากนั้นคำนวณหาค่าของ corrected area (A_c) จากสมการ

$$A_c = A_o - \frac{(\Delta V_m - \Delta V_{co})}{H_o}$$

A_o = พื้นที่หน้าตัดเริ่มแรก

H_o = ความสูงของดินตัวอย่าง เริ่มแรก

ΔV_m = volume change วัดจาก volume change device

ΔV_{co} = การยุบตัวในแนวตั้ง $\times A_o$

A_c = corrected area หลังจาก Isotropic consolidation สิ้นสุดแล้ว

4. ควบคุมแรงดันในแนวราบให้คงที่ แล้วค่อย ๆ เพิ่มแรงดันในแนวตั้งโดยใช้โครงเหล็กแขวน ซึ่งค่า K (เท่ากับ $\bar{\sigma}_h / \bar{\sigma}_v$) จะค่อย ๆ ลดลงจาก 1.0 เป็น 0.9

เปลี่ยนค่าจาก $K = 1.0$ เป็น $K = 0.9$

$$\Delta\bar{\sigma}_v = \frac{\bar{\sigma}_h}{0.9} - \bar{\sigma}_h$$

$$\text{น้ำหนักที่ไ้แวน} = \Delta\bar{\sigma}_v \times A_c + W_{bc}$$

เมื่อ $\bar{\sigma}_h$ = หน่วยแรงประสิทธิผลในแนวราบ

$\Delta\bar{\sigma}_v$ = หน่วยแรงที่เพิ่มขึ้นในแนวตั้ง

A_c = Corrected area

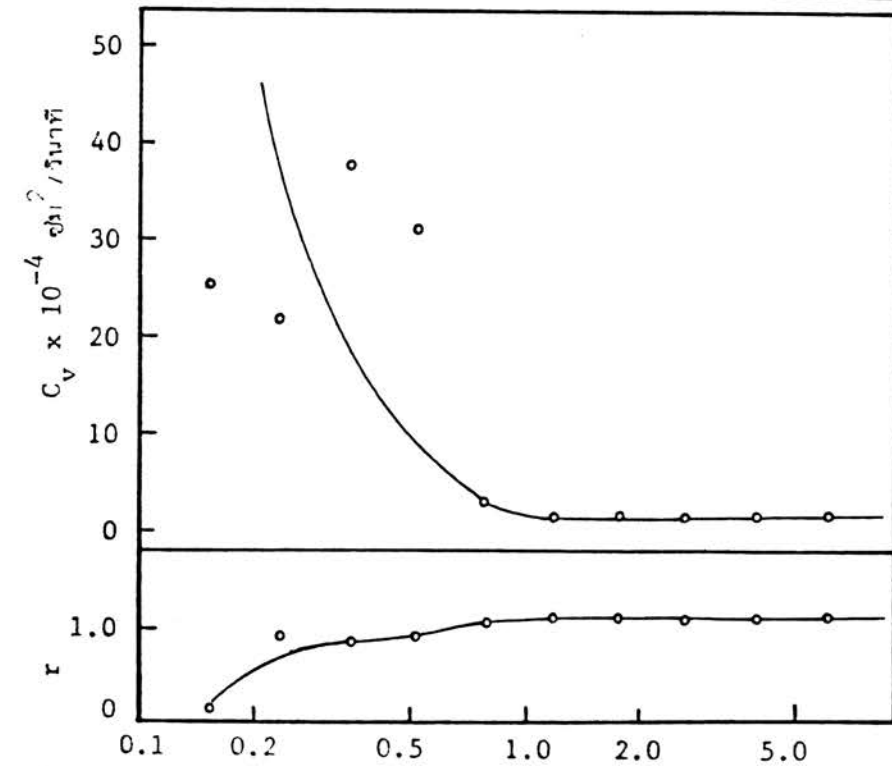
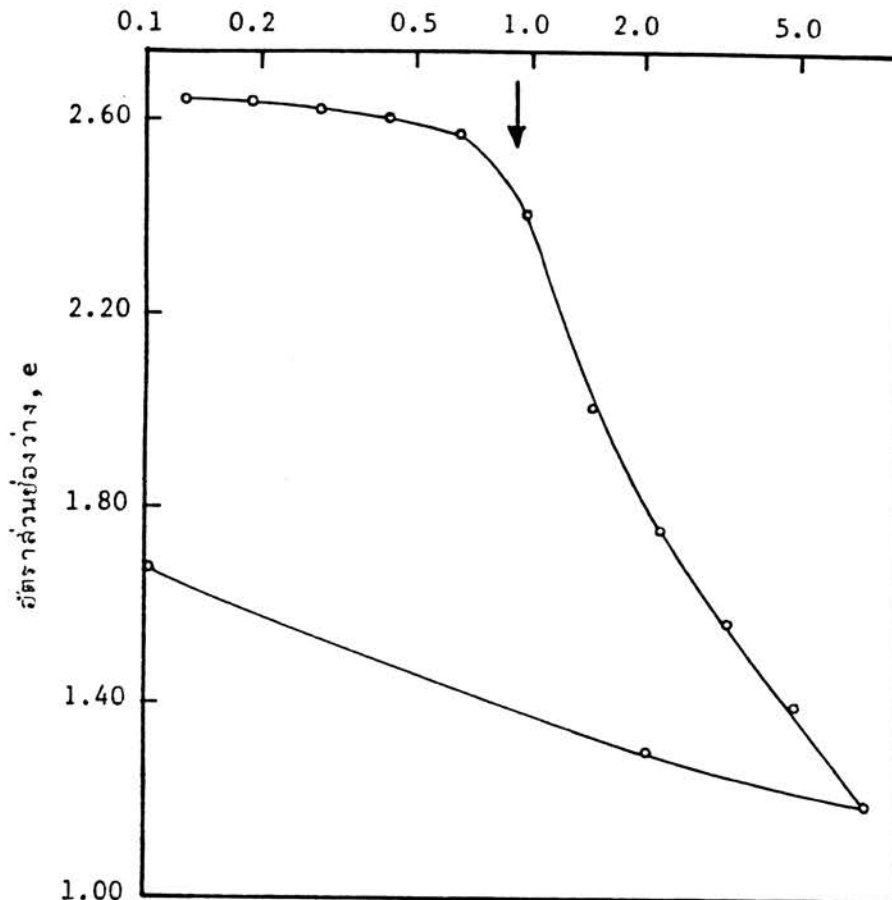
W_{bc} = น้ำหนักที่สัมพันธ์กับแรงดันเซลล์ได้จากกราฟในรูปที่ 3.6

ค่า K จะลดลงไปเรื่อย ๆ ที่ละเล็กละน้อย โดยเพิ่มแรงดันในแนวตั้ง แต่แรงดันในแนวราบคงที่ จนกว่า ΔV_m ซึ่งวัดได้จาก volume change device จะมีค่าเท่ากับ ΔV_c ซึ่งคำนวณได้จาก การยุบตัวในแนวตั้ง $\times A_c$ ช่วงเวลาในการเพิ่มน้ำหนักในแนวตั้งของแต่ละขั้นตอนขึ้นอยู่กับ strain condition ของดินตัวอย่าง ซึ่งสังเกตจาก volume change การยุบตัวในแนวตั้ง และ rate of consolidation ในช่วงแรก ๆ ของการเพิ่มน้ำหนักในแนวตั้ง ค่า ΔV_m จะมีค่ามากกว่า ΔV_c เมื่อเพิ่มน้ำหนักมากขึ้น ค่า ΔV_c จะมีค่าเข้าใกล้ ΔV_m มากขึ้น และช่วงเวลาในการเพิ่มน้ำหนักต้องเพิ่มขึ้นด้วย เมื่อ ΔV_c เข้าใกล้ ΔV_m น้ำหนักที่เพิ่มขึ้นจะต้องลดลง และช่วงเวลาการ consolidation จะต้องยาวนานขึ้นเพื่อตรวจดู volume change จนกระทั่ง $\Delta V_c \approx \Delta V_m$ ซึ่งแสดงว่าดินตัวอย่างมีการยึด-หดตัวทางด้านข้างเท่ากับศูนย์ อัตราส่วนของหน่วยแรงประสิทธิผลในแนวราบต่อหน่วยแรงประสิทธิผลในแนวตั้ง ภายหลังจาก consolidation ล้นสุดแล้ว ซึ่งการยึด-หดตัวทางด้านข้างเท่ากับศูนย์ เรียกว่า Coefficient of earth pressure at rest (K_0)

ภาคผนวก ข.

ผลการทดลองของการทดสอบแบบคอนโซลิตเดชั่น และไทรแอกเซียล

หน่วยแรงประสิทธิผลในแนวตั้ง $\bar{\sigma}_v$ กก./ตร.ซม. (log scale)

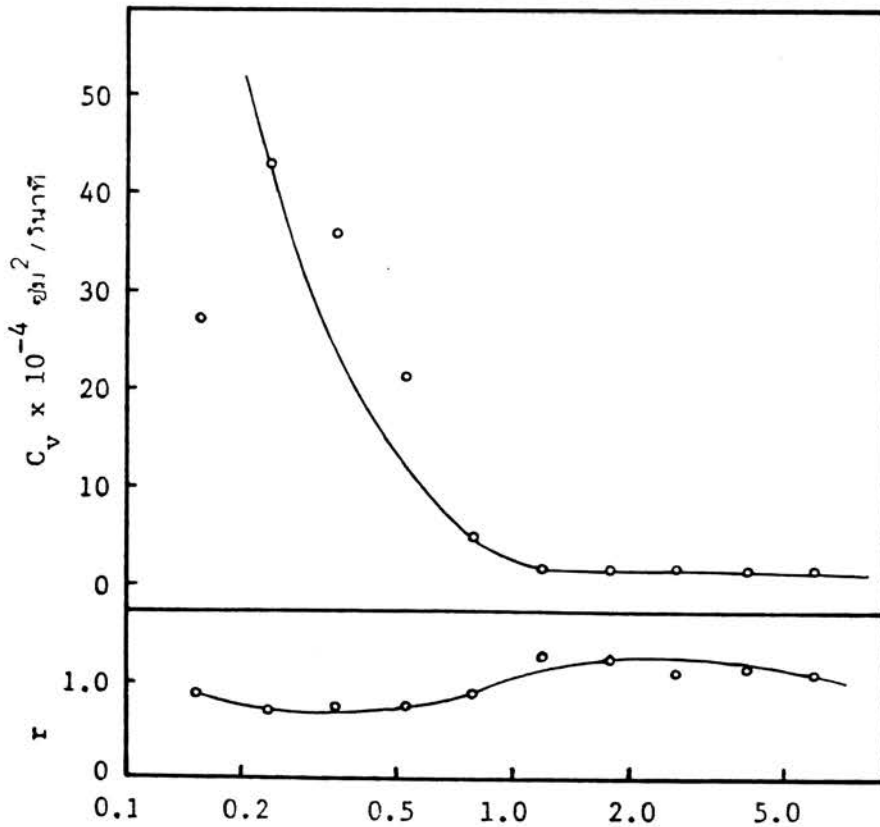
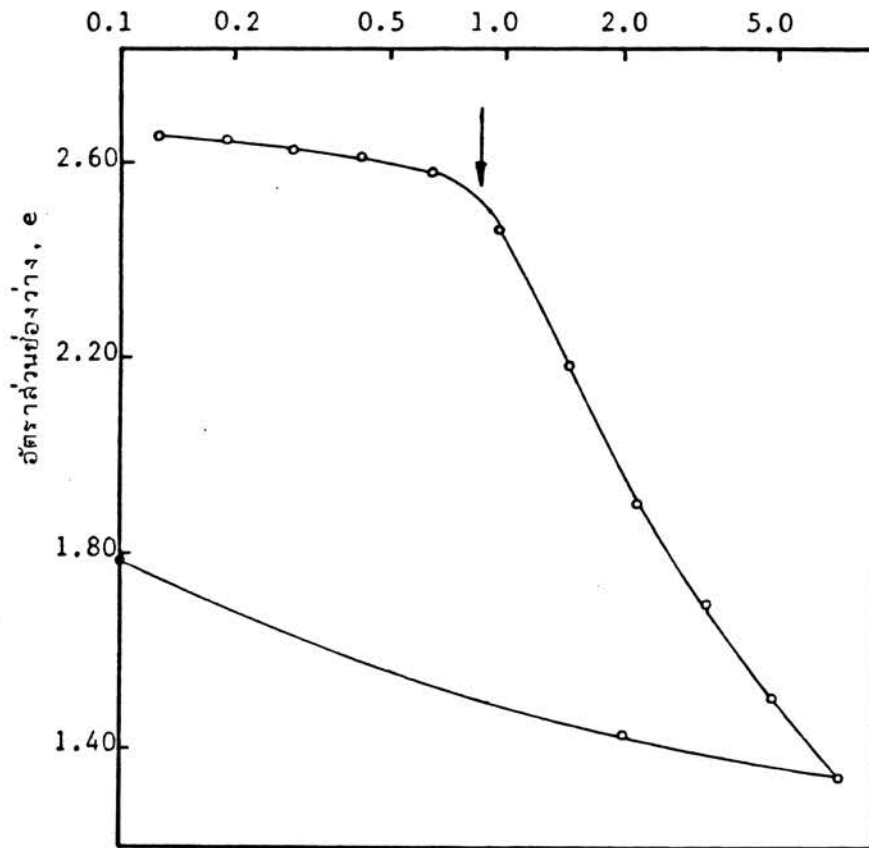


ค่าเฉลี่ยหน่วยแรงประสิทธิผลในแนวตั้ง, $\bar{\sigma}_{av}$, กก./ตร.ซม. (log Scale)

การทดลอง		I-C-1 ₁
LID= t_{100}		LIR=0.50
เริ่มแรก	ปริมาณน้ำในมวลดิน %	90.97
	หน่วยน้ำหนักแห้ง ตัน/ลบ.ม.	0.735
	อัตราส่วนช่องว่าง	2.644
	ความชื้นตัว %	92.20
	ความสูง, ซม.	2.540
สุดท้าย	ปริมาณน้ำในมวลดิน %	64.20
	หน่วยน้ำหนักแห้ง ตัน/ลบ.ม.	1.178
	อัตราส่วนช่องว่าง	1.668
	ความชื้นตัว %	100
	ความสูง, ซม.	1.859
อัตราผล, W_1 %	86.00	
อัตราผลลัด, W_p %	38.54	
Sp. Gr. G	2.68	
ค่าพิกการกดอัด C_c	1.588	
หน่วยแรงสูงสุดในอัตร $\bar{\sigma}_{vm}$ กก./ตร.ซม.	0.87	
OCR	1.96	

ความลึก, เมตร	5.65
คันตัวอย่าง	ช-1-19
ประเภทของดิน	OH

หน่วยแรงประสิทธิผลในแนวตั้ง, $\bar{\sigma}_v$ กก./ตร.ซม. (log scale)

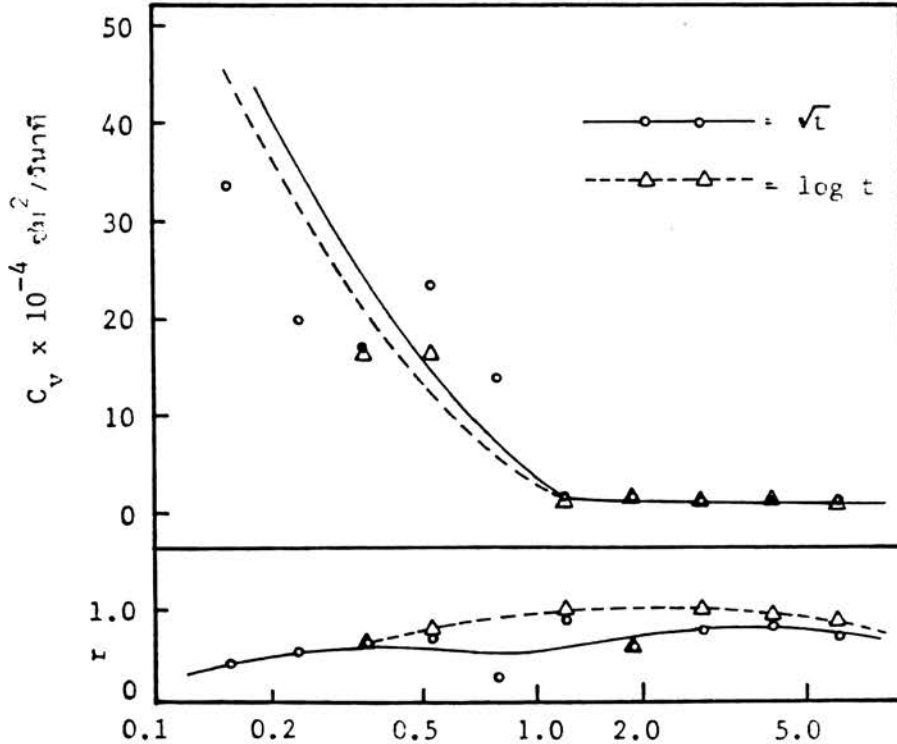
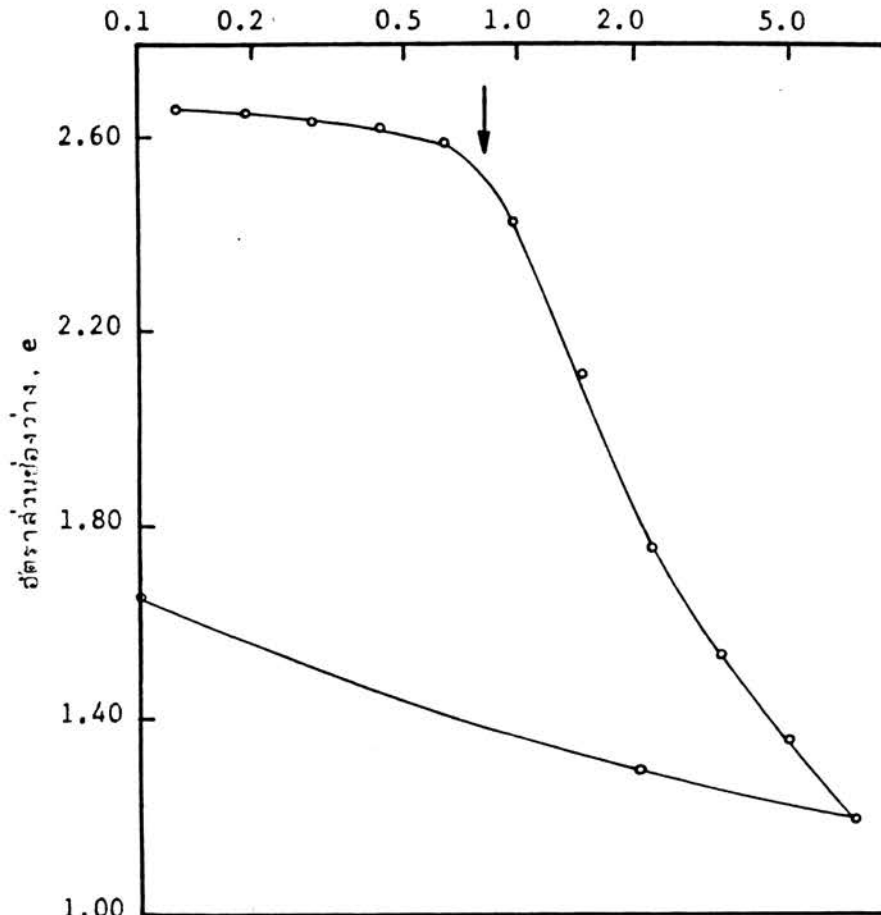


ค่าเฉลี่ยหน่วยแรงประสิทธิผลในแนวตั้ง, $\bar{\sigma}_{av}$, กก./ตร.ซม. (log scale)

การทดลอง		I-C-1 ₂
LID= 90 นาที		LIR=0.50
เริ่มแรก	ปริมาณน้ำในมวลดิน%	90.78
	หน่วยน้ำหนักแห้ง ต้น/ลบ.ม.	0.731
	อัตราส่วนช่องว่าง	2.666
	ความอิ่มตัว %	97.69
	ความสูง, ซม.	2.540
สุดท้าย	เส้นผ่าศูนย์กลาง, ซม.	6.35
	ปริมาณน้ำในมวลดิน%	63.19
	หน่วยน้ำหนักแห้ง ต้น/ลบ.ม.	0.961
	อัตราส่วนช่องว่าง	1.789
	ความอิ่มตัว %	100
ความสูง, ซม.		1.932
ขีดเหลว, W _L %		
ขีดพลาสติก, W _p %		
Sp. Gr., G		2.68
ดัชนีการกักอัด C _c		1.368
หน่วยแรงสูงสุดในออส $\bar{\sigma}_{vm}$ กก./ตร.ซม.		0.85
OCR		1.94

ความลึก, เมตร	5.55
ดินตัวอย่าง	B-II-35
ประเภทของดิน	OH

หน่วยแรงประสิทธิผลในแนวตั้ง, $\bar{\sigma}_v$, กก./ตร.ซม. (log scale)

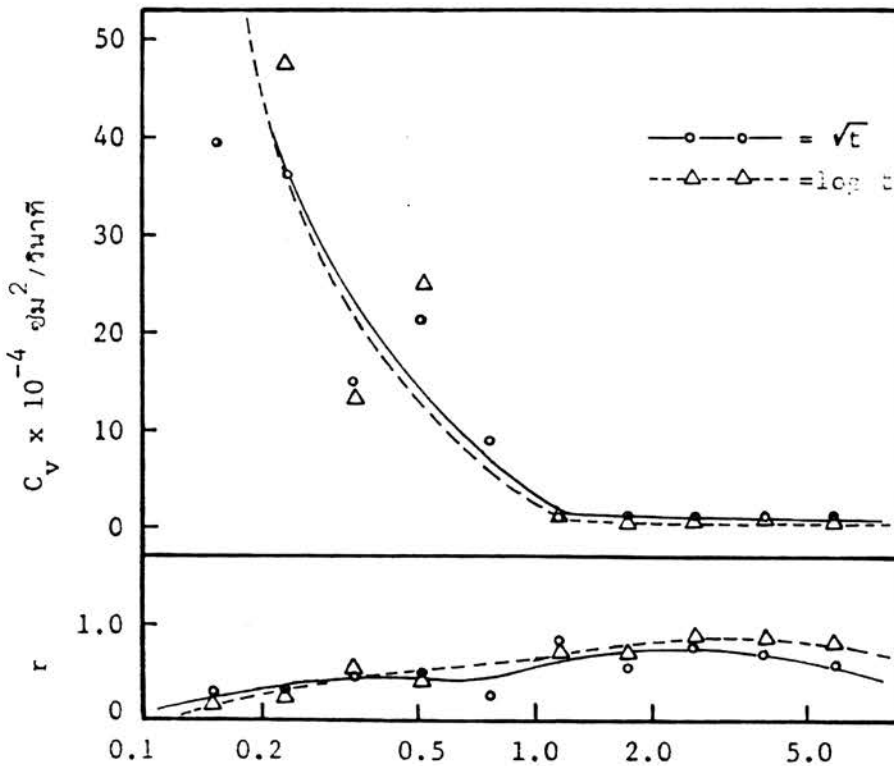
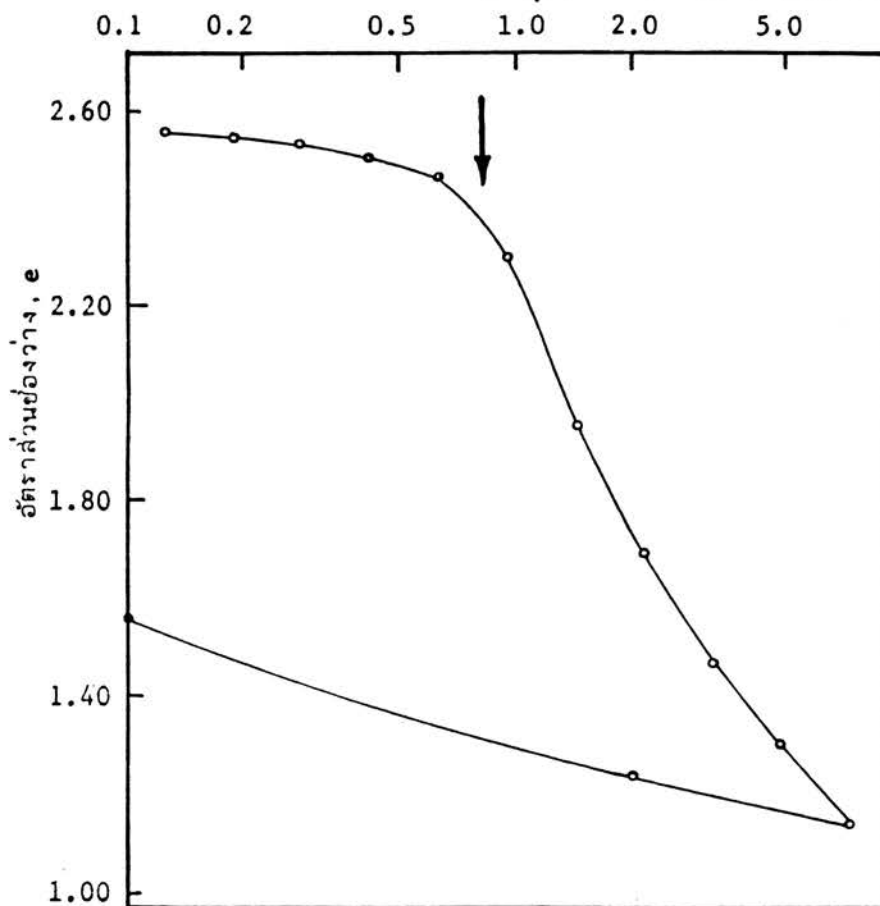


ค่าเฉลี่ยหน่วยแรงประสิทธิผลในแนวตั้ง, $\bar{\sigma}_{av}$, กก./ตร.ซม. (log scale)

การทดลอง		I-C-2
LID= 24 ซม.		LIR=0.50
เริ่มแรก	ปริมาณน้ำในมวลดิน %	92.87
	หน่วยน้ำหนักแห้ง ต้น/ลบ.ม.	0.727
	อัตราส่วนช่องว่าง	2.666
	ความอิ่มตัว %	93.37
	ความสูง, ซม.	2.540
สุดท้าย	ปริมาณน้ำในมวลดิน %	64.36
	หน่วยน้ำหนักแห้ง ต้น/ลบ.ม.	1.010
	อัตราส่วนช่องว่าง	1.653
	ความอิ่มตัว %	100
	ความสูง, ซม.	1.838
อัตราเหลว, W_L %		
อัตราพลาสติก, W_P %		
Sp. Gr., G	2.68	
ค่าสัมประสิทธิ์การกดอัด C_c	1.521	
หน่วยแรงสูงที่สุดเมื่อคิด $\bar{\sigma}_{vm}$ กก./ตร.ซม.	0.85	
OCR	1.92	

ความลึก, เมตร	5.65
ดินตัวอย่าง	B-I-17
ประเภทของดิน	OH

หน่วยแรงประสิทธิผลในแนวตั้ง, $\bar{\sigma}_v$, กก./ตร.ซม. (log scale)

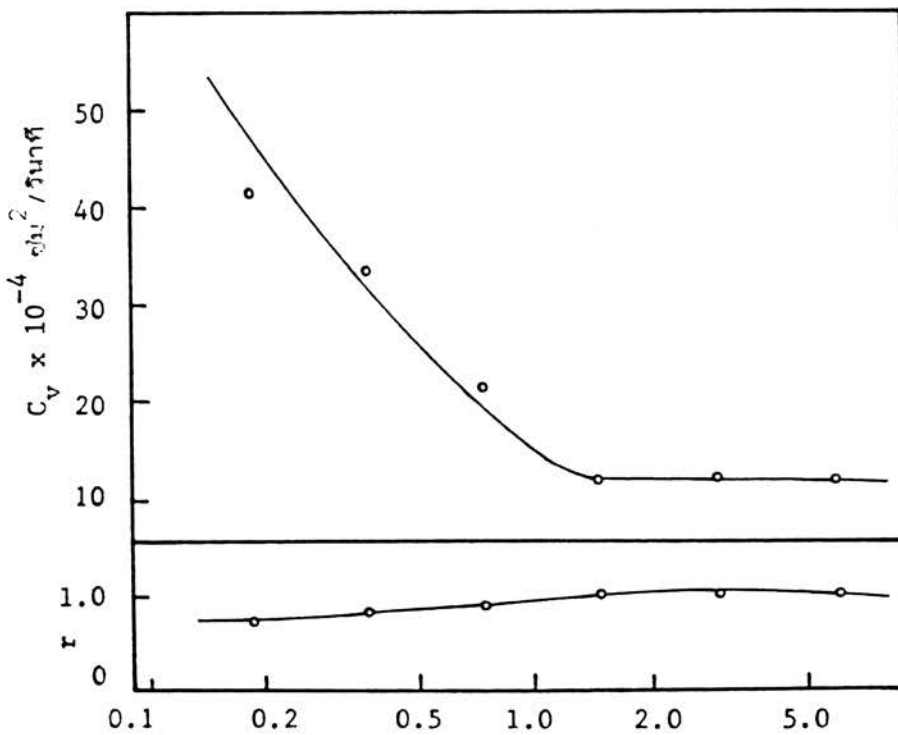
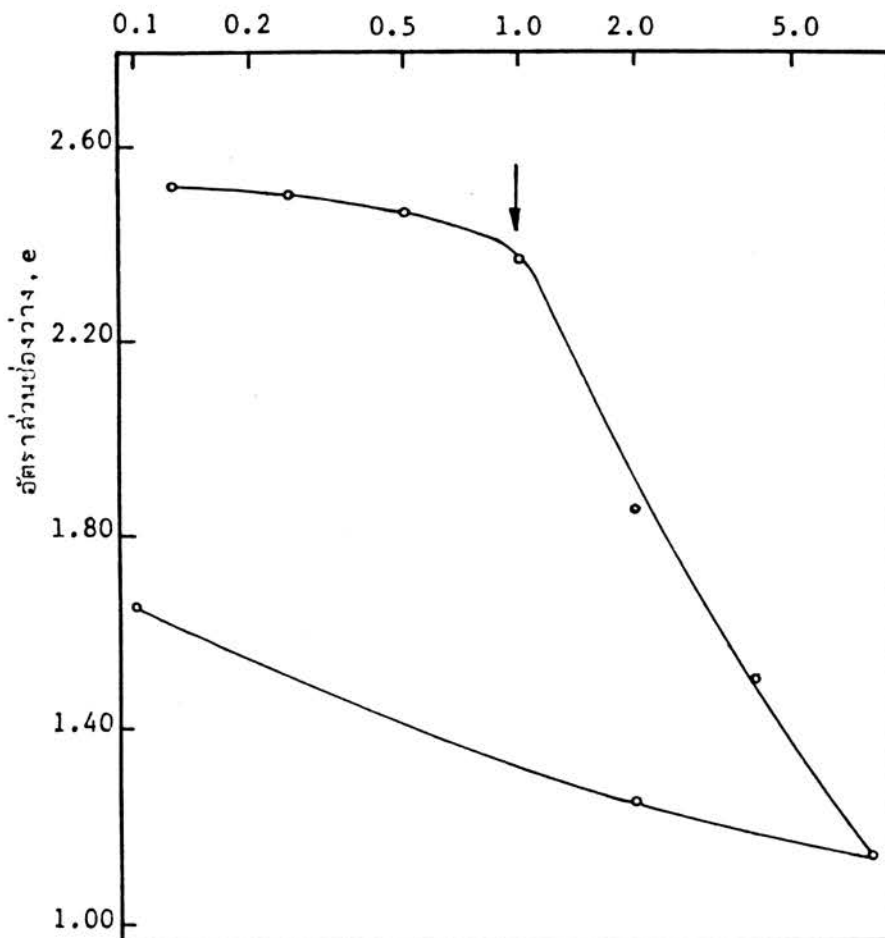


ค่าเฉลี่ยหน่วยแรงประสิทธิผลในแนวตั้ง, $\bar{\sigma}_{av}$, กก./ตร.ซม. (log scale)

การทดลอง		I-C-3
LID= 48 ซม.		LIR= 0.50
เริ่มแรก	ปริมาณน้ำในมวลดิน%	89.91
	หน่วยน้ำหนักแห้ง ดิน/ลบ.ม.	0.753
	อัตราส่วนช่องว่าง	2.558
	ความอิ่มตัว %	94.7
	ความสูง, ซม.	2.54
สุดท้าย	เส้นผ่านศูนย์กลาง, ซม.	6.35
	ปริมาณน้ำในมวลดิน%	59.90
	หน่วยน้ำหนักแห้ง ดิน/ลบ.ม.	1.047
	อัตราส่วนช่องว่าง	1.561
	ความอิ่มตัว %	100
ความสูง, ซม.	1.828	
ขีดเหลว, W_L %		
ขีดพลาสติก, W_P %		
Sp. Gr., G		2.68
สัมประสิทธิ์การกดอัด C_c		1.457
หน่วยแรงสูงสุดในออสติ $\bar{\sigma}_{vm}$ กก./ตร.ซม.		0.83
OCR		1.89

ความลึก, เมตร	5.55
ดินตัวอย่าง	B-I-9
ประเภทของดิน	OH

หน่วยแรงประสิทธิผลในแนวตั้ง, $\bar{\sigma}_v$, กก./ตร.ซม. (log scale)



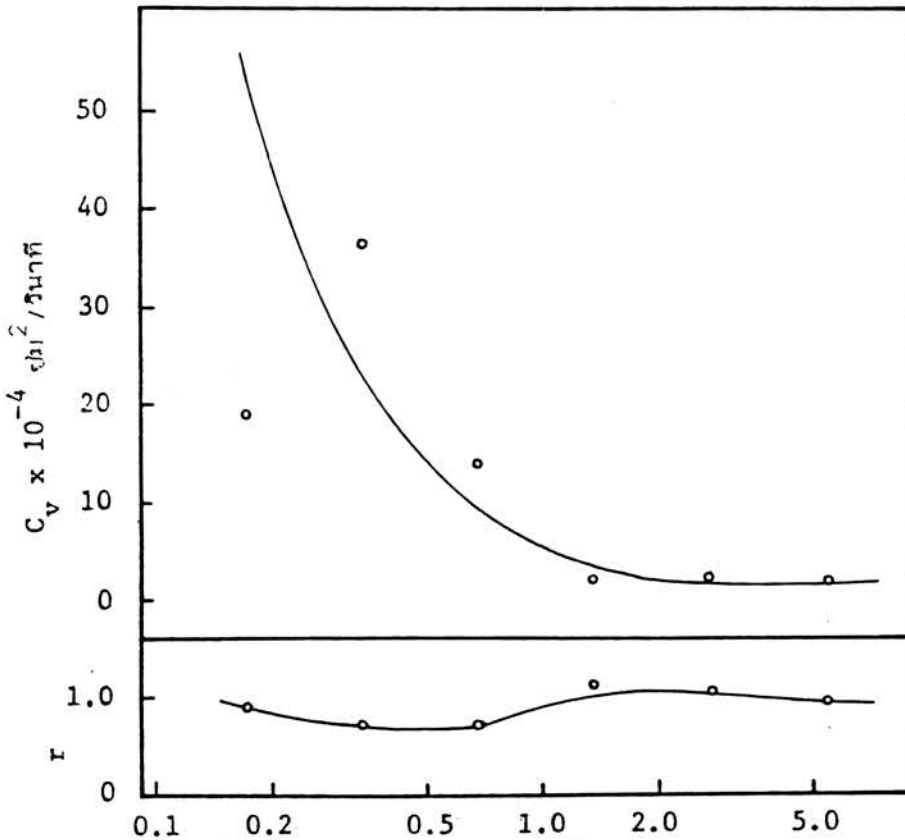
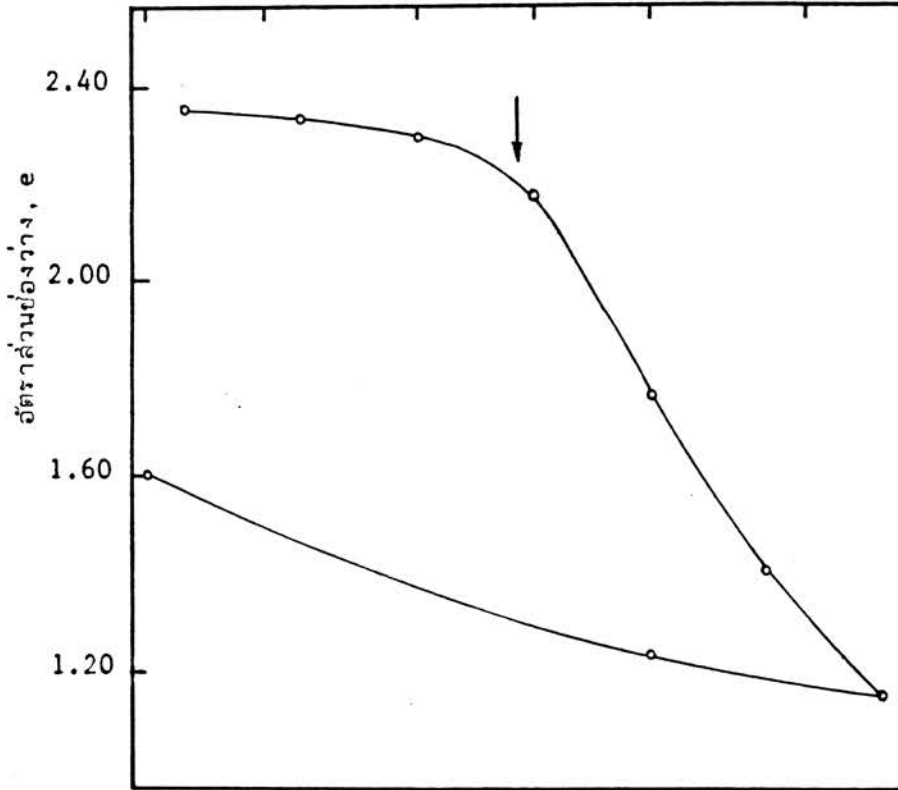
ค่าเฉลี่ยหน่วยแรงประสิทธิผลในแนวตั้ง, $\bar{\sigma}_{av}$, กก./ตร.ซม. (log scale)

การทดลอง	II-C-1	
LID = t_{100}	LIR=1.00	
เริ่มแรก	ปริมาณน้ำในมวลดิน%	86.86
	หน่วยน้ำหนักแห้ง ดิน/ลบ.ม.	0.761
	อัตราส่วนช่องว่าง	2.521
	ความอิ่มตัว %	92.33
	ความสูง, ซม.	2.55
สุดท้าย	ปริมาณน้ำในมวลดิน%	65.43
	หน่วยน้ำหนักแห้ง ดิน/ลบ.ม.	1.010
	อัตราส่วนช่องว่าง	1.654
	ความอิ่มตัว %	100
	ความสูง, ซม.	1.922
อัตราเหลว, W_1 %	85.80	
อัตราพลาสติก, W_p %	38.25	
Sp. Gr., G	2.68	
ดัชนีการก่อก้อน C_c	1.511	
หน่วยแรงสูงสุดในอ็อก $\bar{\sigma}_{vm}$ กก./ตร.ซม.	0.94	
OCR	2.14	

ความลึก, เมตร	5.55
ดินตัวอย่าง	B-II-36
ประเภทของดิน	OH

หน่วยแรงประสิทธิผลในแนวตั้ง, $\bar{\sigma}_v$, กก./ตร.ซม. (log scale)

0.1 0.2 0.5 1.0 2.0 5.0

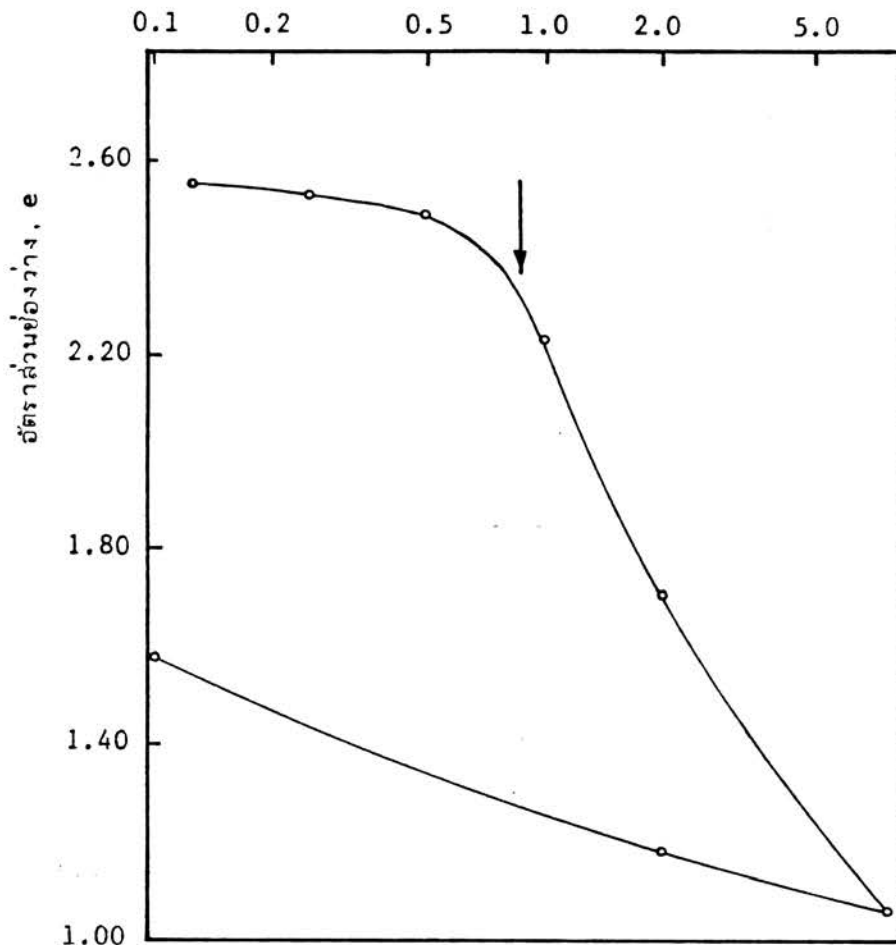


ค่าเฉลี่ยหน่วยแรงประสิทธิผลในแนวตั้ง, $\bar{\sigma}_{av}$, กก./ตร.ซม. (log scale)

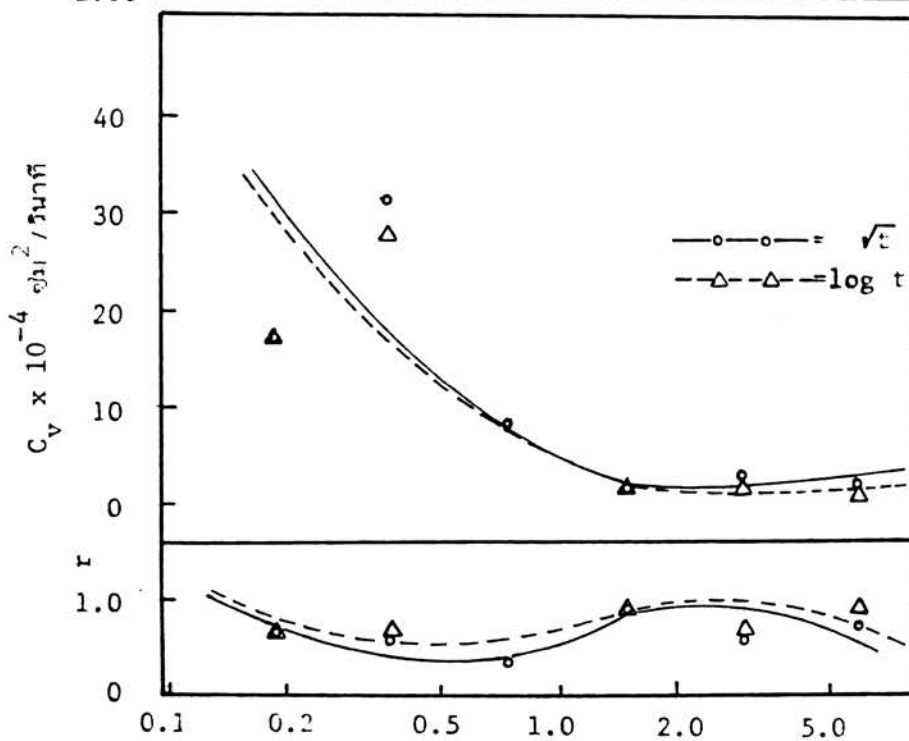
การทดลอง		II-C-1 ₂
LID= 90 นาที		LIR= 1.00
เริ่มแรก	ปริมาณน้ำในมวลดิน%	86.95
	หน่วยน้ำหนักแห้ง ตม/ลบ.ม.	0.799
	อัตราส่วนช่องว่าง	2.356
	ความอิ่มตัว %	98.84
	ความสูง, ซม.	2.55
สุดท้าย	ปริมาณน้ำในมวลดิน%	60.79
	หน่วยน้ำหนักแห้ง ตม/ลบ.ม.	1.031
	อัตราส่วนช่องว่าง	1.599
	ความอิ่มตัว %	100
	ความสูง, ซม.	1.974
อัตราผล, W_p %		
อัตราผลลึกลับ, W_p %		
Sp. Gr., G		2.68
สัมประสิทธิ์การกดอัด C_c		1.185
หน่วยแรงสูงสุดในอดีต $\bar{\sigma}_{vm}$ กก./ตร.ซม.		0.91
OCR		2.075

ความลึก, เมตร	5.55
ดินตัวอย่าง	B-II-24
ประเภทของดิน	OH

หน่วยแรงประสิทธิผลในแนวตั้ง, $\bar{\sigma}_v$, กก./ตร.ซม. (log scale)



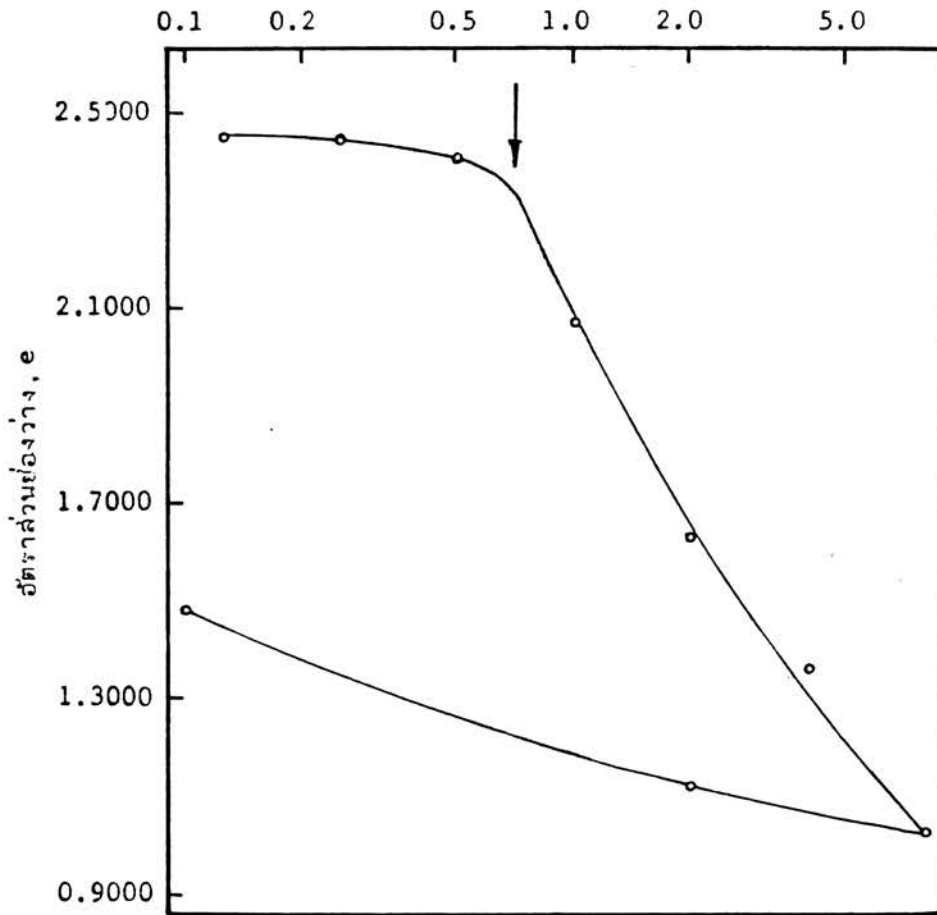
การทดลอง		II-C-2
LID= 24 ซม.		LIR= 1.00
เริ่มแรก	ปริมาณน้ำในมวลดิน%	89.77
	หน่วยน้ำหนักแห้ง ต้น/ลบ.ม.	0.753
	อัตราส่วนช่องว่าง	2.558
	ความอิ่มตัว %	94.03
	ความสูง, ซม.	2.55
สุดท้าย	ปริมาณน้ำในมวลดิน%	63.27
	หน่วยน้ำหนักแห้ง ต้น/ลบ.ม.	1.039
	อัตราส่วนช่องว่าง	1.580
	ความอิ่มตัว %	100
	ความสูง, ซม.	1.849
ขีดเหลว, W_L %		
ขีดพลาสติก, W_P %		
Sp. Gr., G		2.68
ค่าปัจจัยการกดอัด C_c		1.436
หน่วยแรงสูงที่สุดในอดีต $\bar{\sigma}_{vm}$ กก./ตร.ซม.		0.75
OCR		1.71



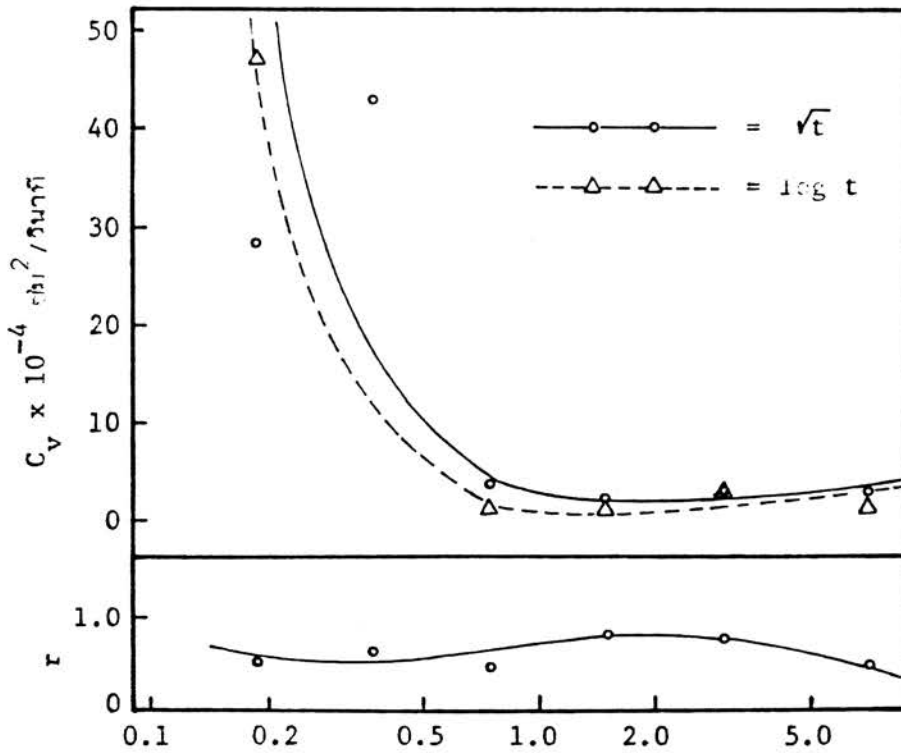
ความลึก, เมตร	5.55
ดินตัวอย่าง	B-I-12
ประเภทของดิน	OH

ค่าเฉลี่ยหน่วยแรงประสิทธิผลในแนวตั้ง, $\bar{\sigma}_{av}$, กก./ตร.ซม. (log scale)

หน่วยแรงประสิทธิผลในแนวตั้ง, $\bar{\sigma}_v$, กก./ตร.ซม. (log scale)



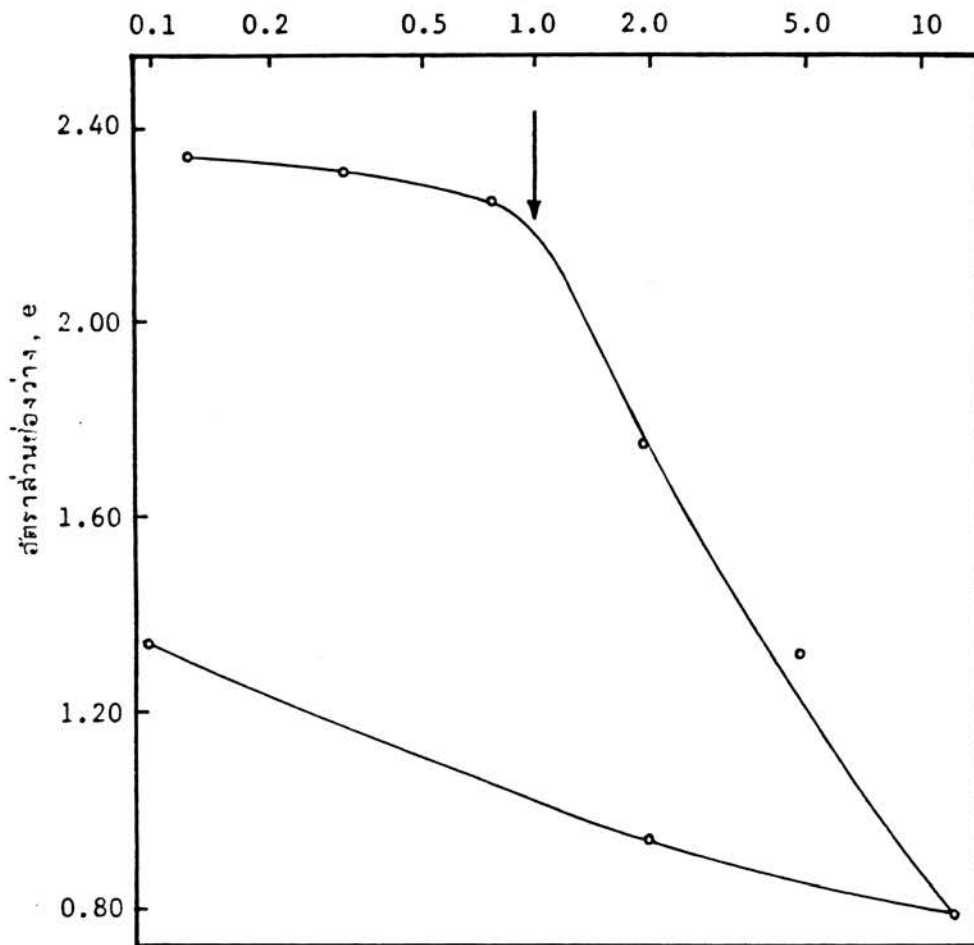
การทดลอง		II-C-3
LID= 48 ซม.		LIR=1.00
เริ่มแรก	ปริมาณน้ำในมวลดิน%	89.99
	หน่วยน้ำหนักแห้ง ตัน/ลบ.ม.	0.774
	อัตราส่วนช่องว่าง	2.463
	ความอิ่มตัว %	97.93
	ความสูง, ซม.	2.55
สุดท้าย	ปริมาณน้ำในมวลดิน%	57.24
	หน่วยน้ำหนักแห้ง ตัน/ลบ.ม.	1.081
	อัตราส่วนช่องว่าง	1.479
	ความอิ่มตัว %	100
	ความสูง, ซม.	1.826
ขีดเหลว, W_L %		
ขีดพลาสติก, W_P %		
Sp. Gr., G		2.68
ดัชนีการกีดอัด C_c		1.293
หน่วยแรงตั้งคู่ในขีด $\bar{\sigma}_{vm}$ กก./ตร.ซม.		0.72
OCR		1.64



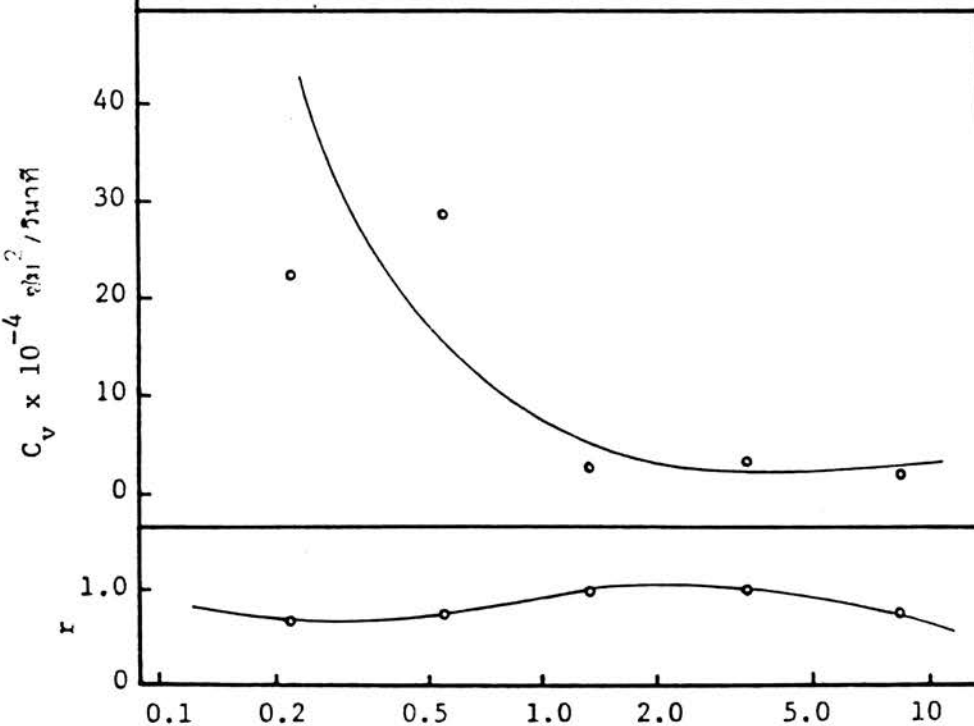
ค่าเฉลี่ยหน่วยแรงประสิทธิผลในแนวตั้ง, $\bar{\sigma}_{av}$, กก./ตร.ซม. (log scale)

ความลึก, เมตร	5.55
คืนตัวอย่าง	B-II-23
ประเภทของดิน	OH

หน่วยแรงประสิทธิผลในแนวตั้ง, $\bar{\sigma}_v$, กก./ตร.ซม.(log scale)



การทดลอง	III-C-1 ₁
LID= ϵ_{100}	LIR= 1.50
ปริมาณน้ำในมวลดิน%	88.24
หน่วยน้ำหนักแห้ง ต้น/ลบ.ม.	0.802
อัตราส่วนช่องว่าง	2.572
ความอิ่มตัว %	100
ความสูง, ซม.	2.55
เส้นผ่านศูนย์กลาง, ซม.	6.35
ปริมาณน้ำในมวลดิน%	55.96
หน่วยน้ำหนักแห้ง ต้น/ลบ.ม.	1.145
อัตราส่วนช่องว่าง	1.669
ความอิ่มตัว %	100
ความสูง, ซม.	1.905
ขีดเหลว, W_L %	87.90
ขีดพลาสติก, W_p %	40.56
Sp. Gr..G.	2.68
ดัชนีการกวดอัด C_c	1.500
หน่วยแรงตั้งสุดในอดีต σ_{vm} กก./ตร.ซม.	1.00
O.C.F.	2.257

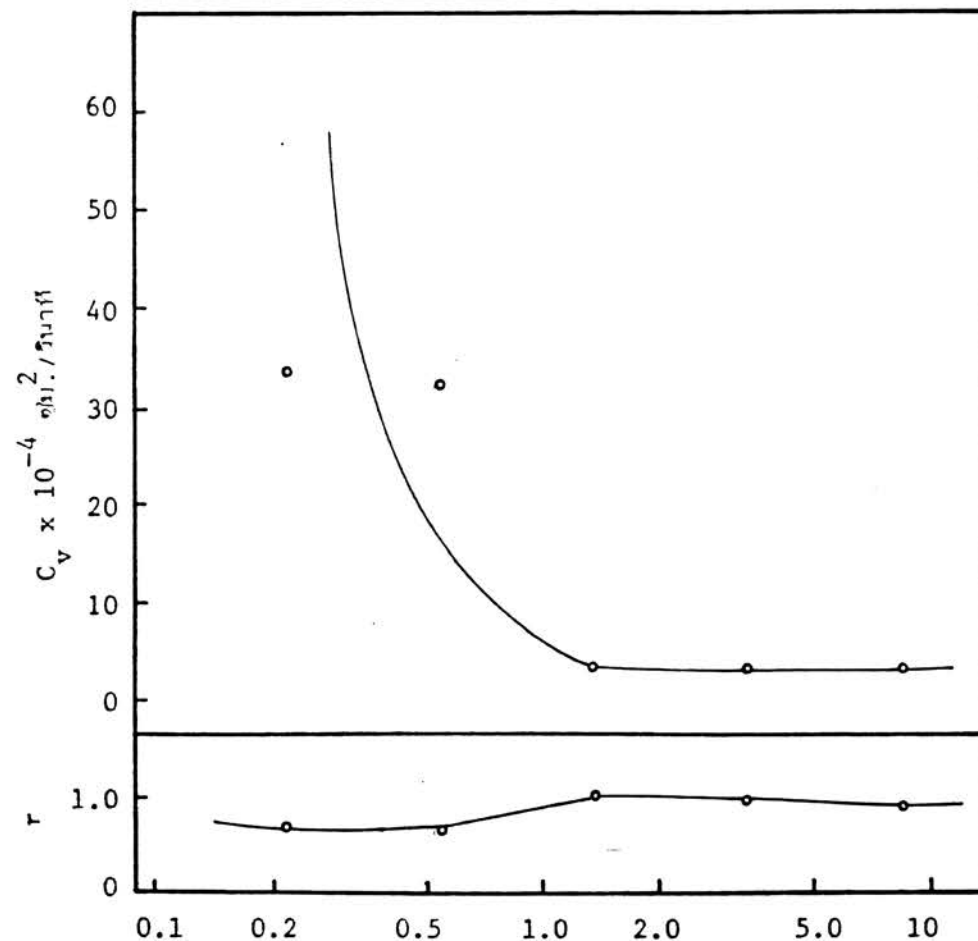
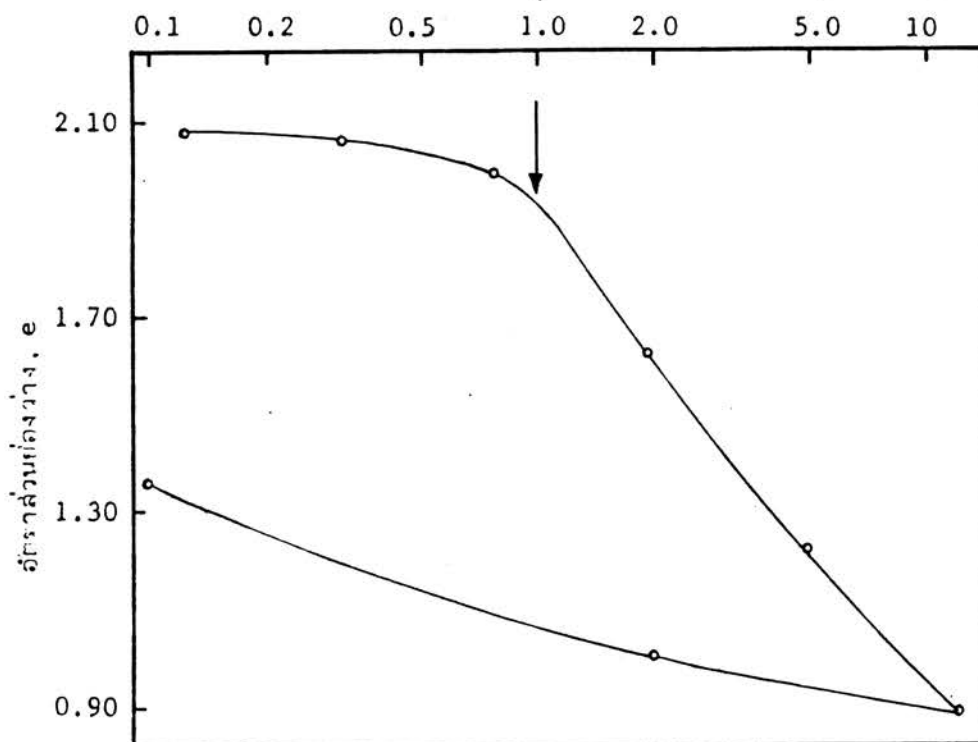


ค่าเฉลี่ยหน่วยแรงประสิทธิผลในแนวตั้ง, $\bar{\sigma}_{av}$, กก./ตร.ซม. (log scale)

ความลึก, เมตร	5.65
ดินตัวอย่าง	B-I-17
ประเภทของดิน	OH



หน่วยแรงประสิทธิผลในแนวตั้ง, $\bar{\sigma}_v$, กก./ตร.ซม. (log scale)

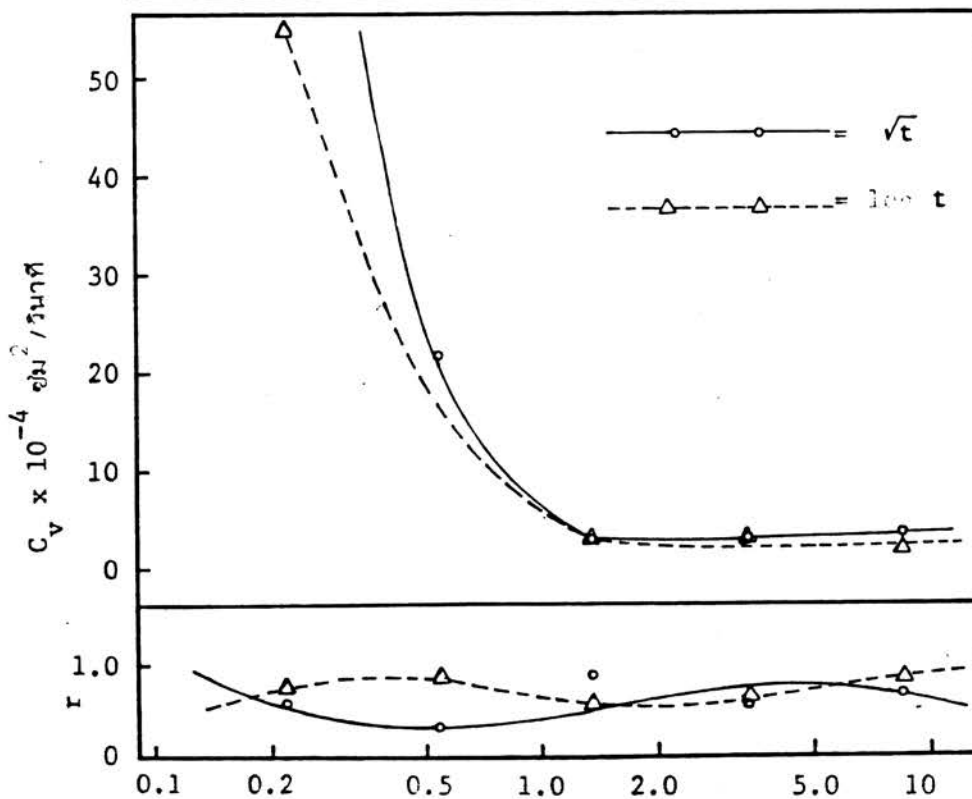
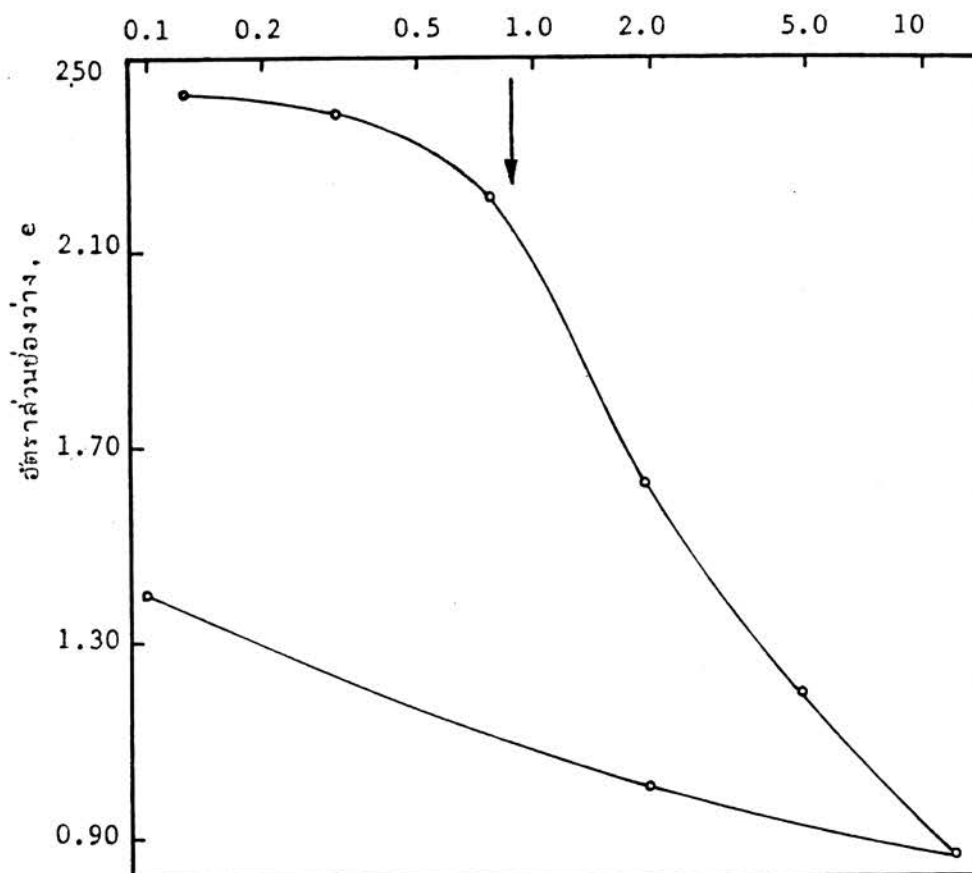


ค่าเฉลี่ยหน่วยแรงประสิทธิผลในแนวตั้ง, $\bar{\sigma}_{av}$, กก./ตร.ซม. (log scale)

การทดลอง		III-C-1
LID= 90 นาที		LIR= 1.50
เริ่มแรก	ปริมาณน้ำในมวลดิน%	79.89
	หน่วยน้ำหนักแห้ง ดิน/ลบ.ม.	0.868
	อัตราส่วนช่องว่าง	2.087
	ความอิ่มตัว %	100
	ความสูง, ซม.	2.60
สุดท้าย	เส้นผ่านศูนย์กลาง, ซม.	6.35
	ปริมาณน้ำในมวลดิน%	53.88
	หน่วยน้ำหนักแห้ง ดิน/ลบ.ม.	1.134
	อัตราส่วนช่องว่าง	1.363
	ความอิ่มตัว %	100
ความสูง, ซม.	1.989	
ขีดเหลว, W_L %		
ขีดพลาสติก, W_p %		
Sp. Gr. G_s		2.68
สัมประสิทธิ์การกดอัด C_c		1.013
หน่วยแรงสูงสุดในอค์ด $\bar{\sigma}_{vm}$ กก./ตร.ซม.		1.00
OCR		2.278

ความลึก, เมตร	5.55
ดินตัวอย่าง	B.II-24
ประเภทของดิน	OH

หน่วยแรงประสิทธิผลในแนวตั้ง, $\bar{\sigma}_v$, กก./ตร.ซม. (log scale)

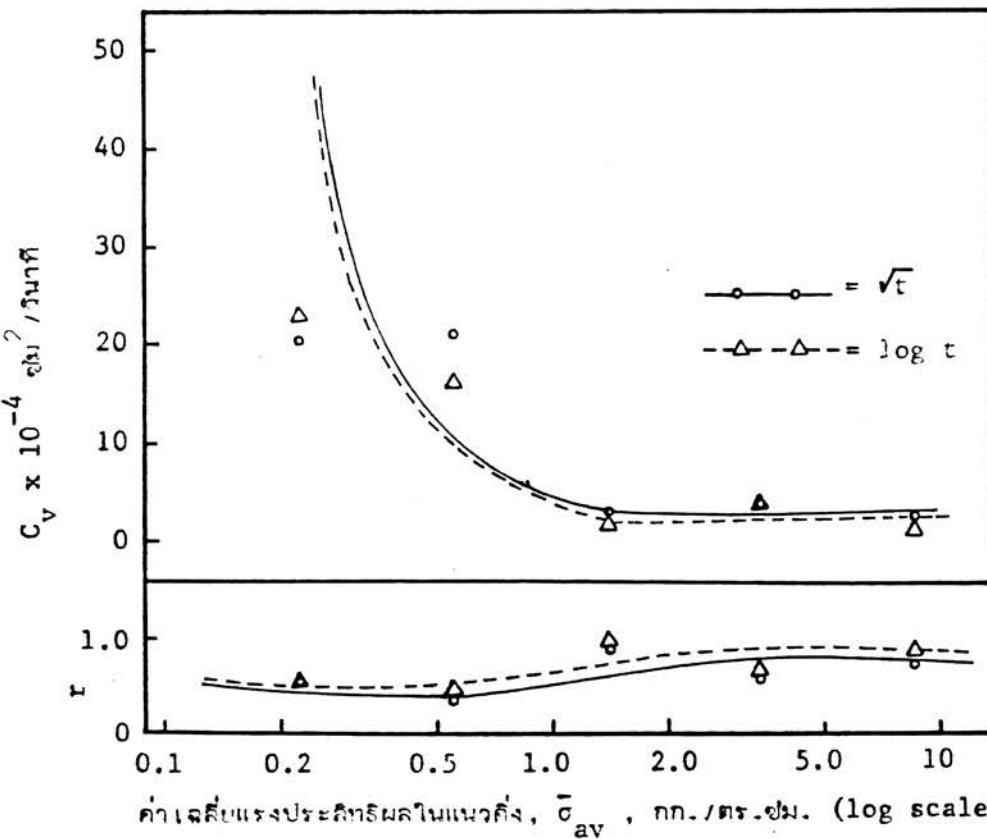
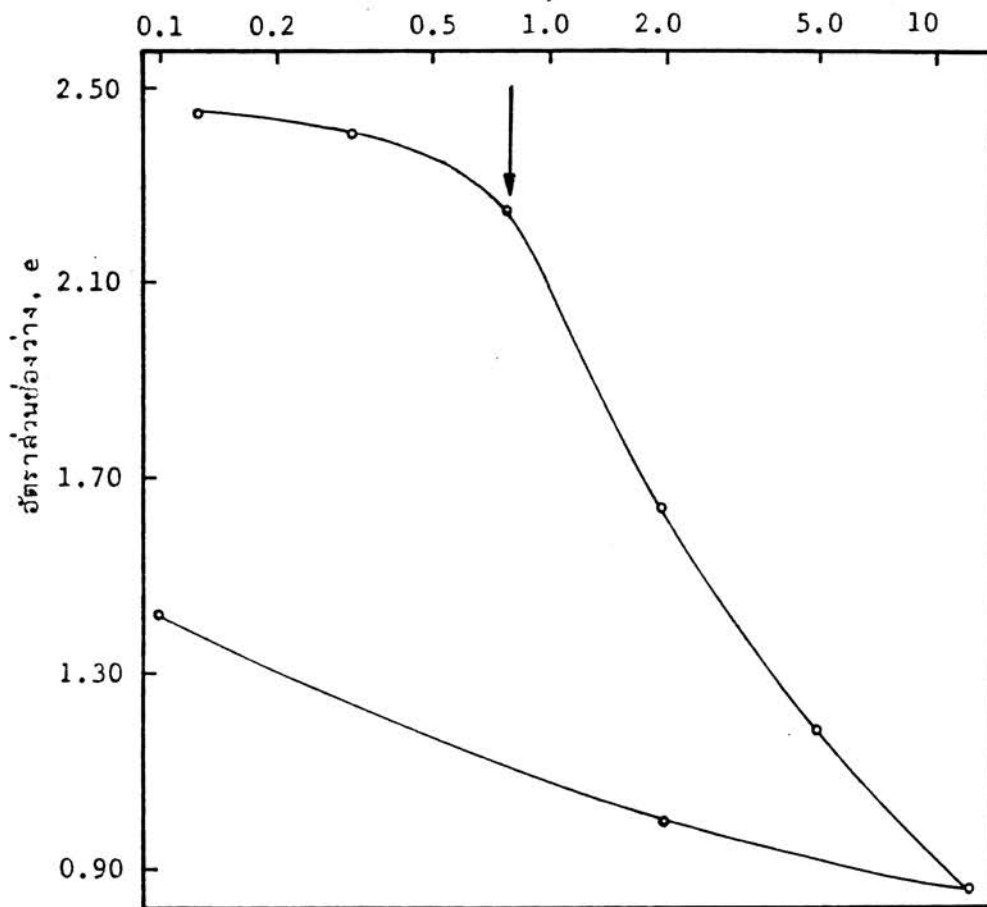


ค่าเฉลี่ยหน่วยแรงประสิทธิผลในแนวตั้ง, $\bar{\sigma}_{av}$, กก./ตร.ซม. (log scale)

การทดลอง		III-C-2
LID= 24 ซม.		LIR = 1.50
เริ่มแรก	ปริมาณน้ำในมวลดิน%	86.26
	หน่วยน้ำหนักแห้ง ต้น/ลบ.ม.	0.782
	อัตราส่วนช่องว่าง	2.429
	ความอิ่มตัว %	95.17
	ความสูง, ซม.	2.60
สุดท้าย	ปริมาณน้ำในมวลดิน%	53.38
	หน่วยน้ำหนักแห้ง ต้น/ลบ.ม.	1.119
	อัตราส่วนช่องว่าง	1.395
	ความอิ่มตัว %	100
	ความสูง, ซม.	1.816
อัตราเหลว, W_L %		
อัตราพลาสติก, W_P %		
Sp. Gr., G		2.68
สัมประสิทธิ์การกดอัด C_c		1.351
หน่วยแรงสูงสุดในออสิต σ_{vm} กก./ตร.ซม.		0.75
OCR		1.72

ความลึก, เมตร	5.45
ดินตัวอย่าง	8-II-25
ประเภทของดิน	OH

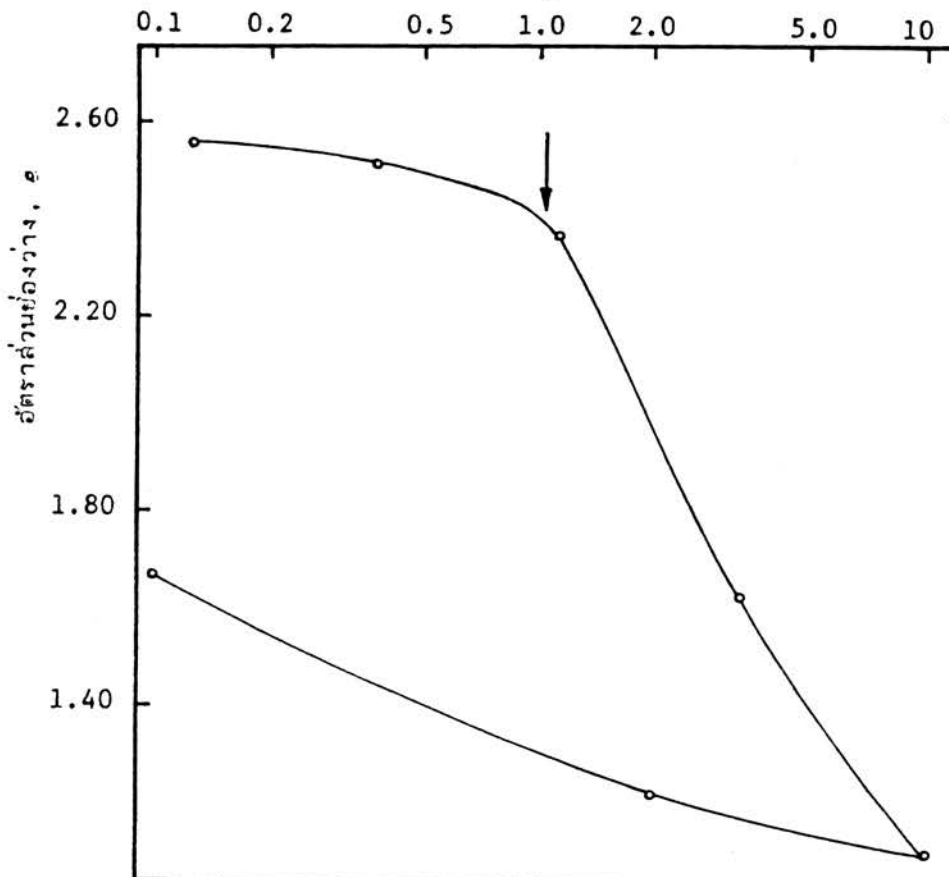
หน่วยแรงประสิทธิผลในแนวตั้ง, $\bar{\sigma}_v$, กก./ตร.ซม.(log scale)



การทดลอง	III-C-3	
LID = 48 ซม.	LIR = 1.50	
เริ่มแรก	ปริมาณน้ำในมวลดิน%	86.69
	หน่วยน้ำหนักแห้ง ตัน/ลบ.ม.	0.774
	อัตราส่วนช่องว่าง	2.464
	ความอิ่มตัว %	94.25
	ความสูง, ซม.	2.60
สุดท้าย	เส้นผ่านศูนย์กลาง, ซม.	6.35
	ปริมาณน้ำในมวลดิน%	55.42
	หน่วยน้ำหนักแห้ง ตัน/ลบ.ม.	1.107
	อัตราส่วนช่องว่าง	1.420
	ความอิ่มตัว %	100
ความสูง, ซม.	1.816	
ยึดเหลว, W_L %		
ยึดพลาสติก, W_p %		
Sp. Gr. G	2.68	
ดัชนีการกีดกัน C_c	1.341	
หน่วยแรงสูงสุดในอดีต $\bar{\sigma}_{vm}$ กก./ตร.ซม.	0.80	
OCR	1.82	

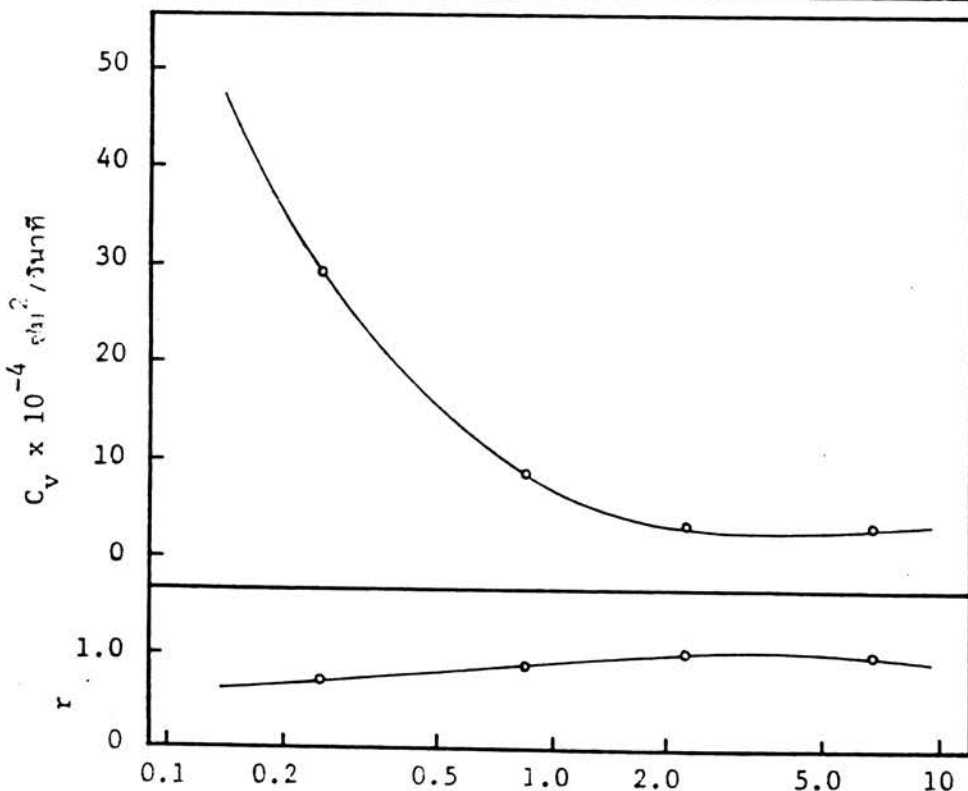
ความลึก, เมตร	5.55
ดินตัวอย่าง	B-II-23
ประเภทของดิน	OH

หน่วยแรงประสิทธิผลในแนวตั้ง, $\bar{\sigma}_v$, กก./ตร.ซม. (log scale)



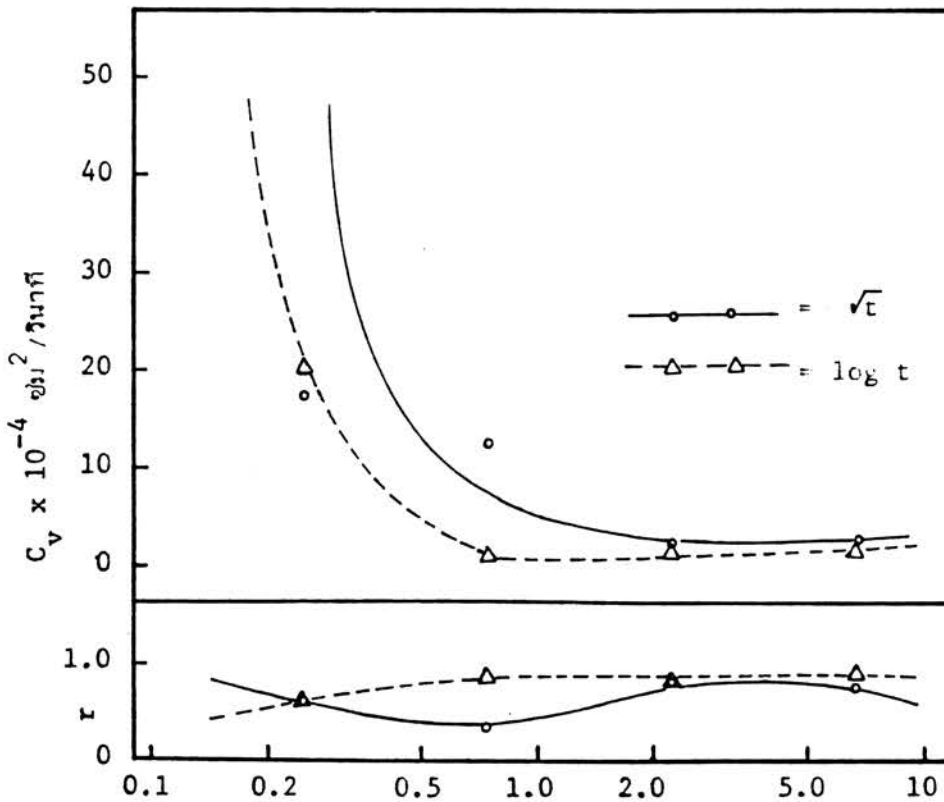
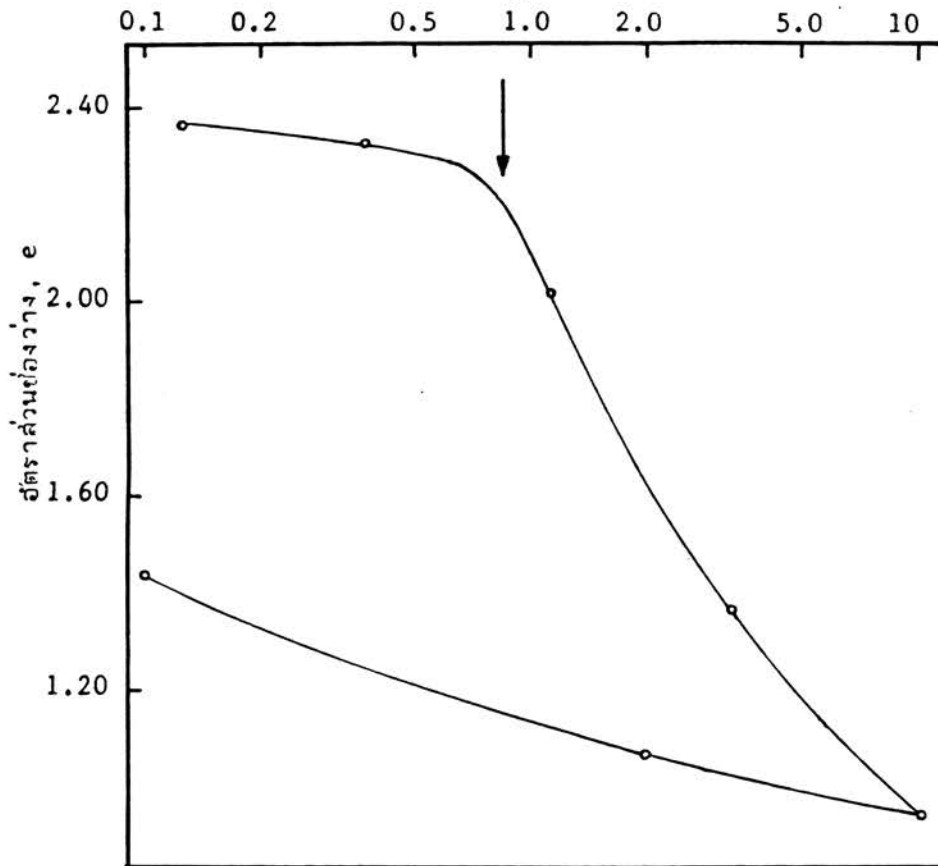
การทดลอง		IV-C-1
LID = t_{100}		LIR= 2.00
เริ่มแรก	ปริมาณน้ำในมวลดิน%	91.42
	หน่วยน้ำหนักแห้ง ดิน/ลบ.ม.	0.750
	อัตราส่วนช่องว่าง	2.572
	ความอิ่มตัว %	95.24
	ความสูง, ซม.	2.55
สุดท้าย	ปริมาณน้ำในมวลดิน%	68.09
	หน่วยน้ำหนักแห้ง ดิน/ลบ.ม.	1.004
	อัตราส่วนช่องว่าง	1.669
	ความอิ่มตัว %	100
	ความสูง, ซม.	1.905
อัตราผล, W_p %		86.20
อัตราผลลัด, W_p %		42.0
Sp. Gr. G		2.68
ค่าปัจจัยการกดอัด C_c		1.398
หน่วยแรงสูงสุดในอัตร σ_{vm} กก./ตร.ซม.		1.03
OCR		2.33

ความลึก, เมตร	5.65
ดินตัวอย่าง	B-I-13
ประเภทของดิน	OH



ค่าเฉลี่ยหน่วยแรงประสิทธิผลในแนวตั้ง, $\bar{\sigma}_{av}$, กก./ตร.ซม. (log scale)

หน่วยแรงประสิทธิผลในแนวตั้ง, $\bar{\sigma}_{av}$, กก./ตร.ซม. (log scale)

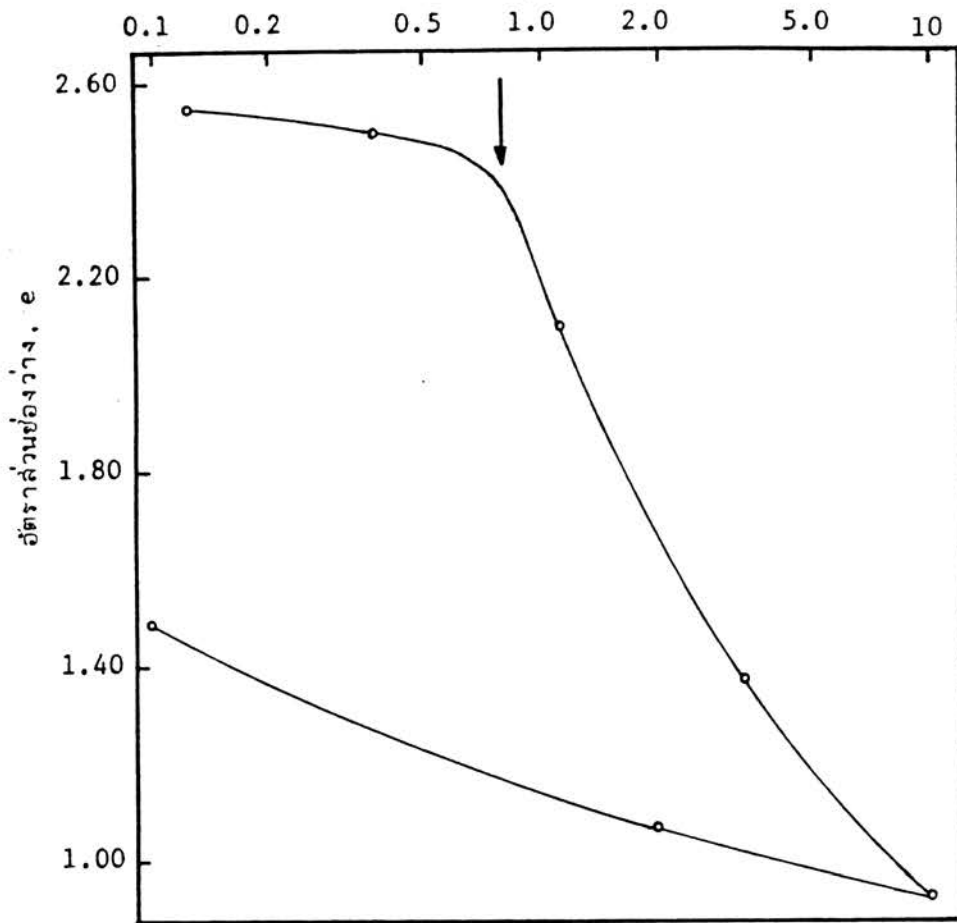


ค่าเฉลี่ยหน่วยแรงประสิทธิผลในแนวตั้ง, $\bar{\sigma}_{av}$, กก./ตร.ซม. (log scale)

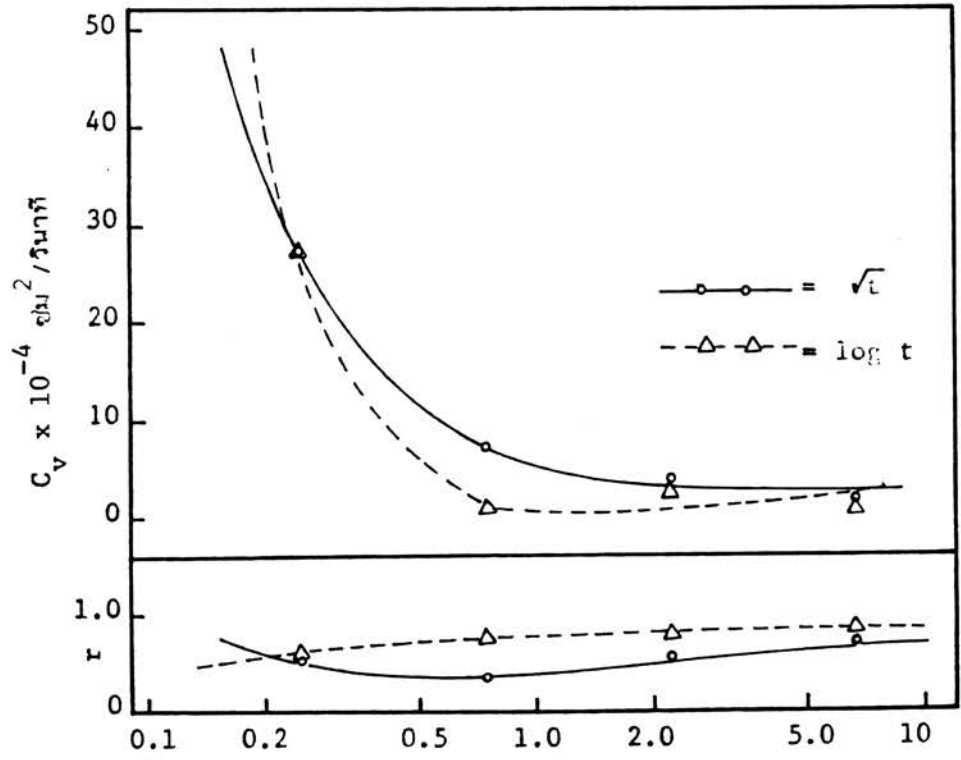
การทดลอง		IV-C-2
LID = 24 ซม.	LIR = 2.00	
เริ่มแรก	ปริมาณน้ำในมวลดิน%	87.66
	หน่วยน้ำหนักแห้ง ตัน/ลบ.ม.	0.795
	อัตราส่วนช่องว่าง	2.372
	ความอิ่มตัว %	99.01
	ความสูง, ซม.	2.55
สุดท้าย	เส้นผ่านศูนย์กลาง, ซม.	6.35
	ปริมาณน้ำในมวลดิน%	57.30
	หน่วยน้ำหนักแห้ง ตัน/ลบ.ม.	1.102
	อัตราส่วนช่องว่าง	1.432
	ความอิ่มตัว %	100
ความสูง, ซม.	1.839	
ยึดเหลว, W_L %		
ยึดพลาสติก, W_P %		
Sp. Gr., G		2.68
สัมประสิทธิ์การกดอัด C_c		1.261
หน่วยแรงสูงสุดในอคิด σ_{vm} กก./ตร.ซม.		0.80
OCR		1.81

ความลึก, เมตร	5.65
ดินตัวอย่าง	B-I-14
ประเภทของดิน	OH

หน่วยแรงประสิทธิผลในแนวตั้ง, $\bar{\sigma}_v$, กก./ตร.ซม. (log scale)



การทดลอง		IV-C-3
LID= 24 ซม.	LIR = 2.00	
เริ่มแรก	ปริมาณน้ำในมวลดิน %	90.73
	หน่วยน้ำหนักแห้ง ตัน/ลบ.ม.	0.754
	อัตราส่วนช่องว่าง	2.554
	ความชื้นตัว %	95.20
	ความสูง, ซม.	2.60
สุดท้าย	เส้นผ่าศูนย์กลาง, ซม.	6.35
	ปริมาณน้ำในมวลดิน %	61.55
	หน่วยน้ำหนักแห้ง ตัน/ลบ.ม.	1.077
	อัตราส่วนช่องว่าง	1.488
	ความชื้นตัว %	100
ความสูง, ซม.		1.820
ยึดเหลว, W_L %		
ยึดพลาสติก, W_P %		
Sp. Gr., G		2.68
ดัชนีการก่อดิน C_c		1.496
หน่วยแรงสูงสุดในอัตร $\bar{\sigma}_{vm}$ กก./ตร.ซม.		0.75
OCR		1.69

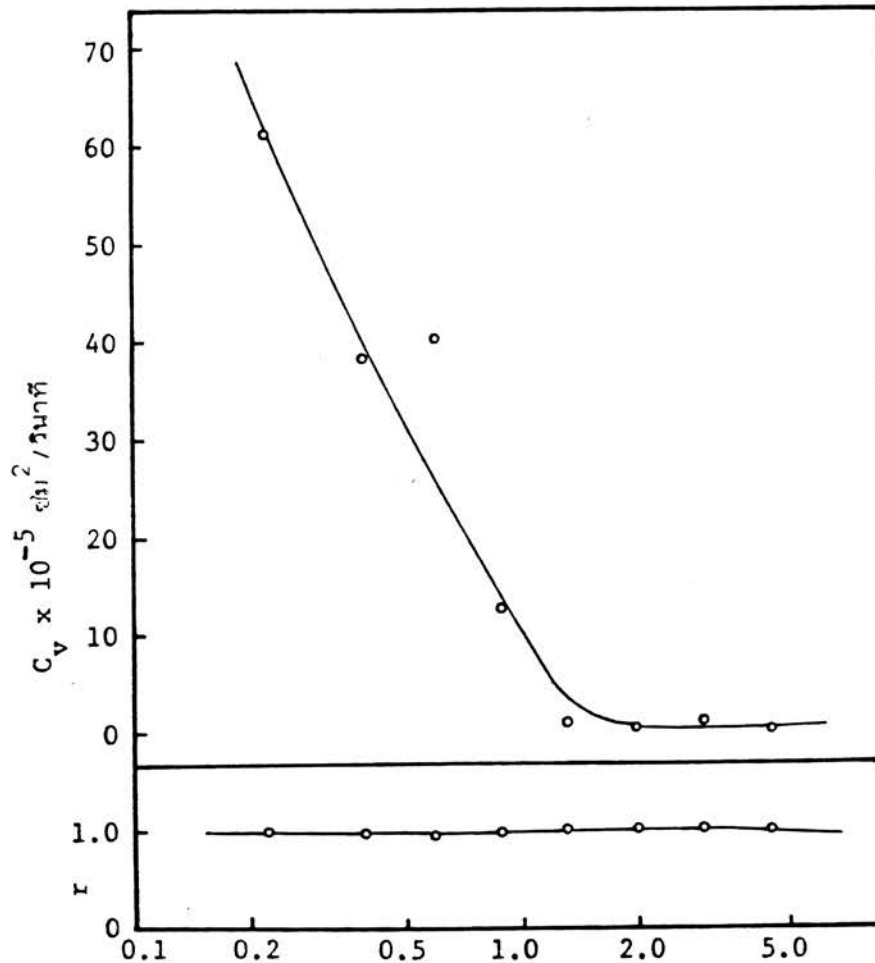
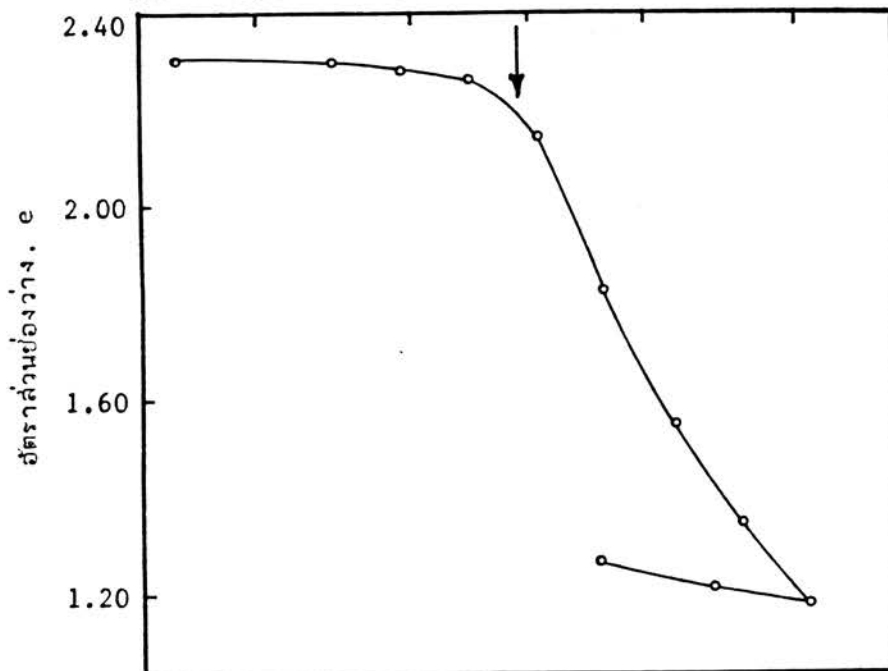


ค่าเฉลี่ยหน่วยแรงประสิทธิผลในแนวตั้ง, $\bar{\sigma}_{av}$, กก./ตร.ซม. (log scale)

ความลึก, เมตร	5.65
ดินตัวอย่าง	B-I-15
ประเภทของดิน	OH

หน่วยแรงประสิทธิผลในแนวตั้ง, $\bar{\sigma}_v$, กก./ตร.ซม. (log scale)

0.1 0.2 0.5 1.0 2.0 5.0

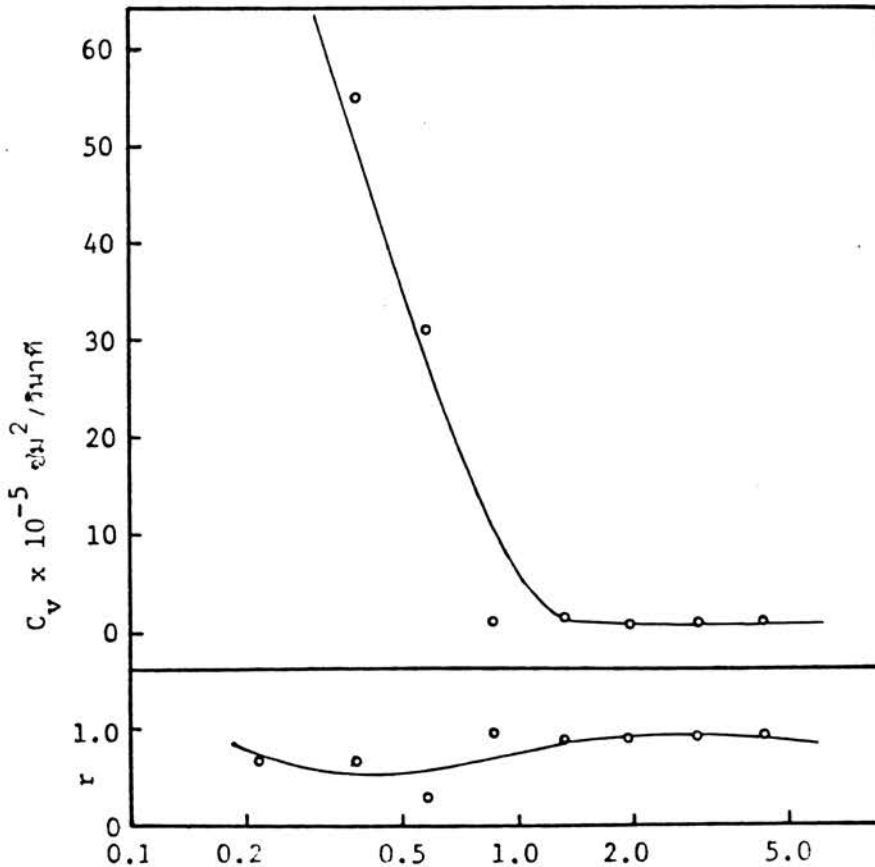
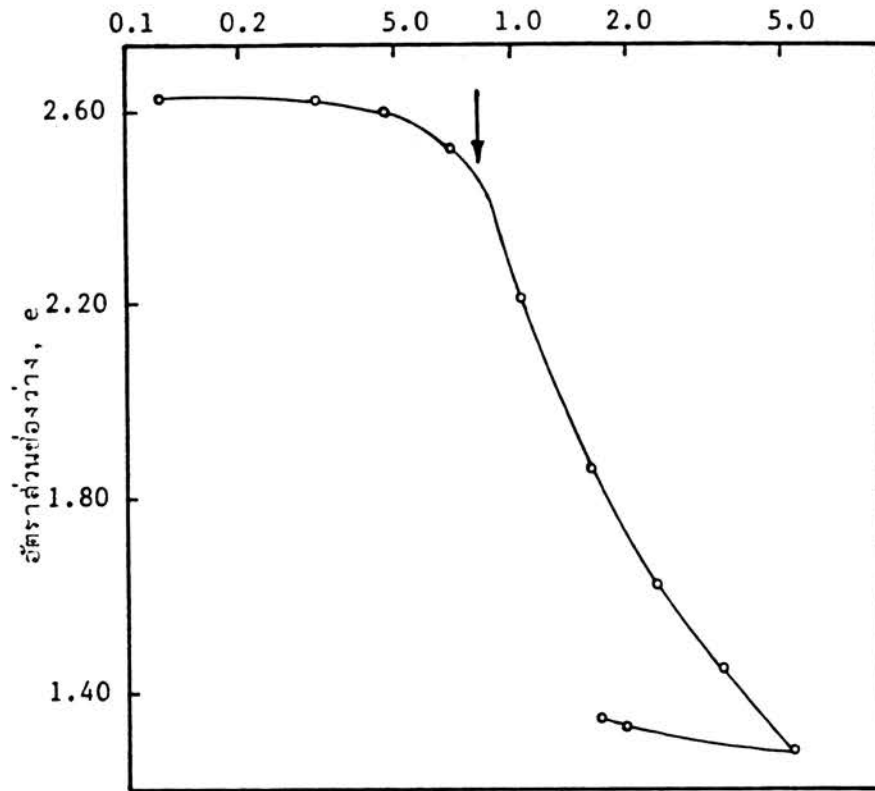


ค่าเฉลี่ยหน่วยแรงประสิทธิผลในแนวตั้ง, $\bar{\sigma}_{av}$, กก./ตร.ซม. (log scale)

การทดลอง		I-T-1
LID= t_{100}	LIR = 0.50	
ปริมาณน้ำในมวลดิน%	87.07	
หน่วยน้ำหนักแห้ง ต้น/ลบ.ม.	0.810	
อัตราส่วนช่องว่าง	2.309	
ความอิ่มตัว %	100	
ความสูง, ซม.	7.00	
เส้นผ่านศูนย์กลาง, ซม.	3.517	
ปริมาณน้ำในมวลดิน%	50.96	
หน่วยน้ำหนักแห้ง ต้น/ลบ.ม.	1.178	
อัตราส่วนช่องว่าง	1.275	
ความอิ่มตัว %	100	
ความสูง, ซม.	4.859	
ยึดเหลว, W_L %	87.80	
ยึดพลาสติก, W_p %	37.92	
Sp. Gr., G	2.68	
ดัชนีการกีดอัด C_c	1.456	
หน่วยแรงสูงสุดในอักษ $\bar{\sigma}_{vm}$ กก./ตร.ซม.	0.98	
OCR	2.21	

ความลึก, เมตร	5.65
ดินตัวอย่าง	B-II-43
ประเภทของดิน	CH

หน่วยแรงประสิทธิผลในแนวตั้ง, $\bar{\sigma}_v$, กก./ตร.ซม. (log scale)

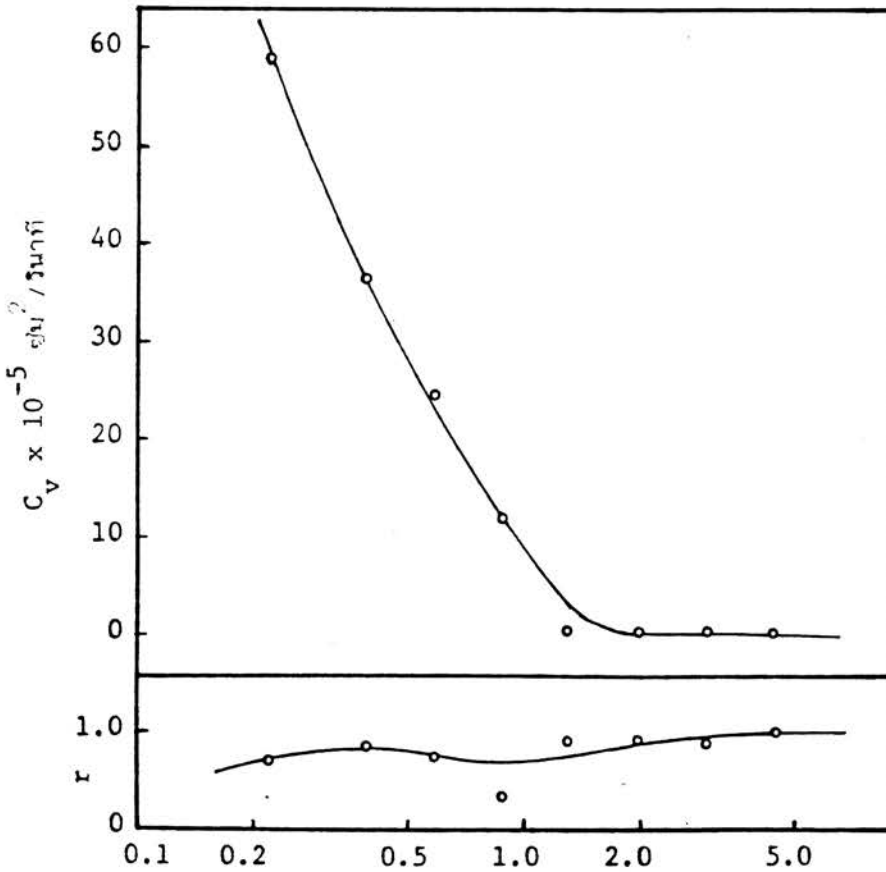
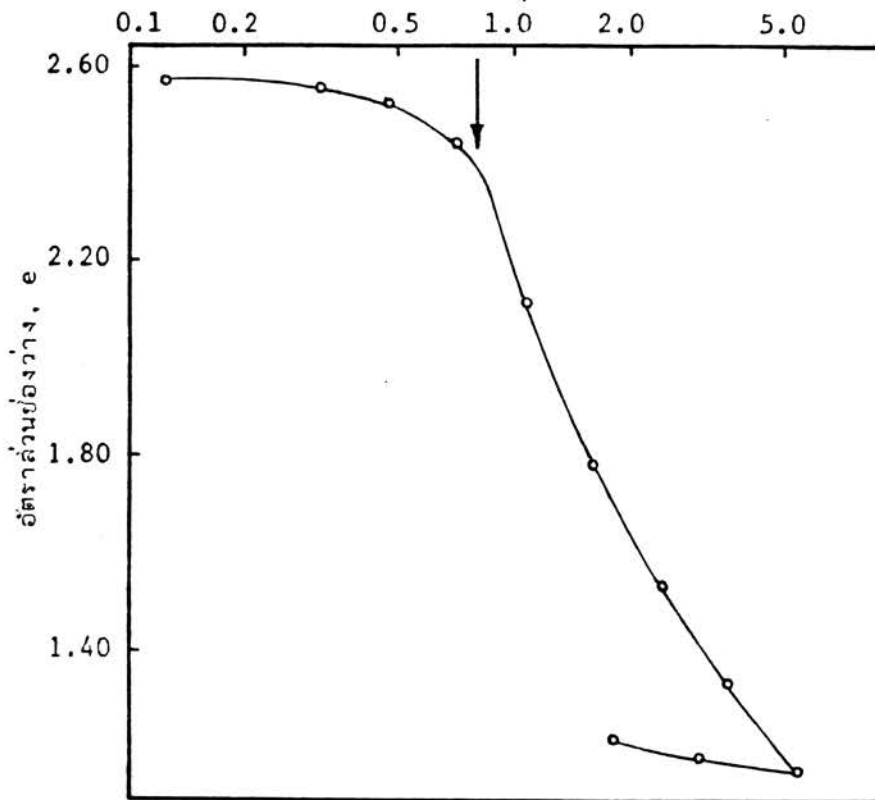


ค่าเฉลี่ยหน่วยแรงประสิทธิผลในแนวตั้ง, $\bar{\sigma}_{av}$, กก./ตร.ซม. (log scale)

การทดลอง		I-T-2
LID = 24 ซม		LIR = 0.50
เริ่มแรก	ปริมาณน้ำในมวลดิน%	99.12
	หน่วยน้ำหนักแห้ง ดิน/ลบ.ม.	0.738
	อัตราส่วนช่องว่าง	2.631
	ความอิ่มตัว %	100
	ความสูง, ซม.	7.00
สุดท้าย	ปริมาณน้ำในมวลดิน%	51.00
	หน่วยน้ำหนักแห้ง ดิน/ลบ.ม.	1.130
	อัตราส่วนช่องว่าง	1.372
	ความอิ่มตัว %	100
	ความสูง, ซม.	4.587
ดินเหลว, W_L %		86.00
ดินพลาสติก, W_p %		40.36
Sp. Gr., G		2.68
สัมประสิทธิ์การกักอัด C_c		1.562
หน่วยแรงสูงสุดในอค์ด $\bar{\sigma}_{vm}$ กก./ตร.ซม.		0.80
OCR		1.82

ความลึก, เมตร	5.55
ดินตัวอย่าง	B-II-32
ประเภทของดิน	OH

หน่วยแรงประสิทธิผลในแนวตั้ง, $\bar{\sigma}_v$, กก./ตร.ซม. (log scale)

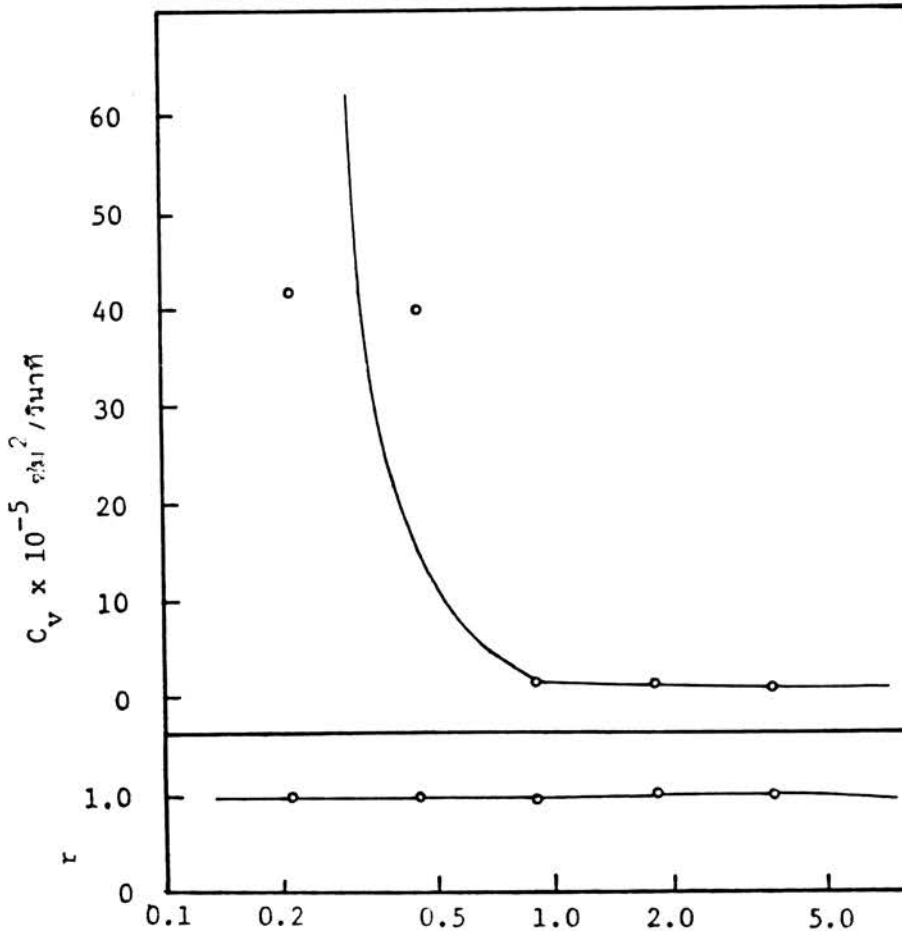
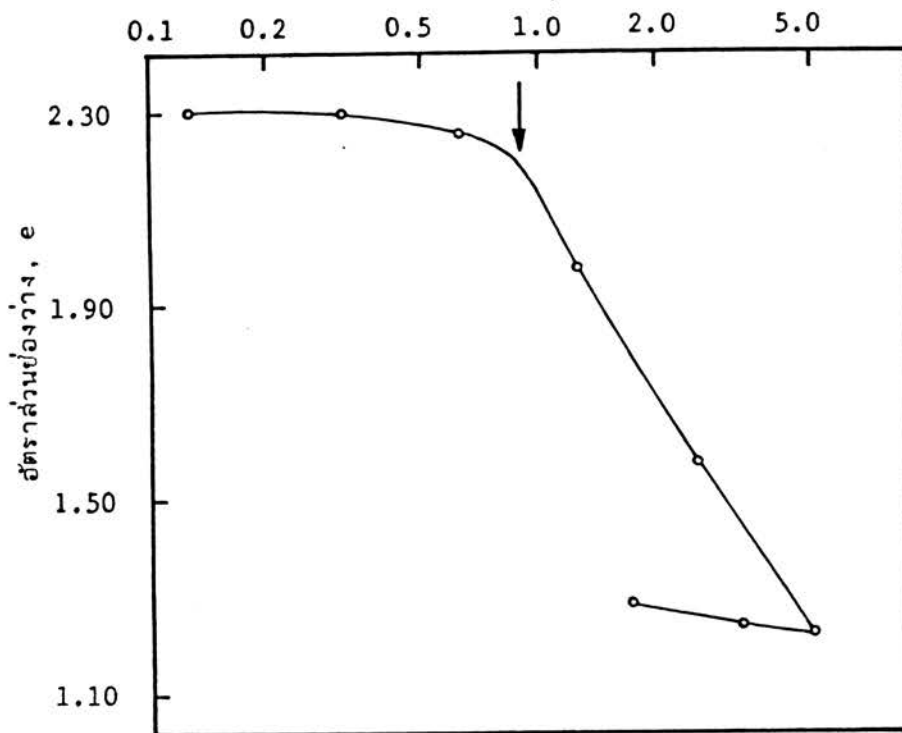


ค่าเฉลี่ยหน่วยแรงประสิทธิผลในแนวตั้ง, $\bar{\sigma}_{av}$, กก./ตร.ซม. (log scale)

การทดลอง		I-T-3
LID= 48 ซม.	LIR= 0.50	
เริ่มแรก	ปริมาณน้ำในมวลดิน%	89.51
	หน่วยน้ำหนักแห้ง ต้น/ลบ.ม.	0.750
	อัตราส่วนช่องว่าง	2.573
	ความอิ่มตัว %	100
	ความสูง, ซม.	7.00
สุดท้าย	เส้นผ่าศูนย์กลาง, ซม.	3.53
	ปริมาณน้ำในมวลดิน%	49.71
	หน่วยน้ำหนักแห้ง ต้น/ลบ.ม.	1.237
	อัตราส่วนช่องว่าง	1.219
	ความสูง, ซม.	4.350
ขีดเหลว, W_L %		87.92
ขีดพลาสติก, W_p %		39.80
Sp. Gr., G.		2.68
สัมประสิทธิ์การกดอัด C_c		1.459
หน่วยแรงสูงสุดในอดีต $\bar{\sigma}_{vm}$ กก./ตร.ซม.		0.70
OCR		1.61

ความลึก, เมตร	5.45
ดินตัวอย่าง	B-II-28
ประเภทของดิน	OH

หน่วยแรงประสิทธิผลในแนวตั้ง, $\bar{\sigma}_v$, กก./ตร.ซม. (log scale)

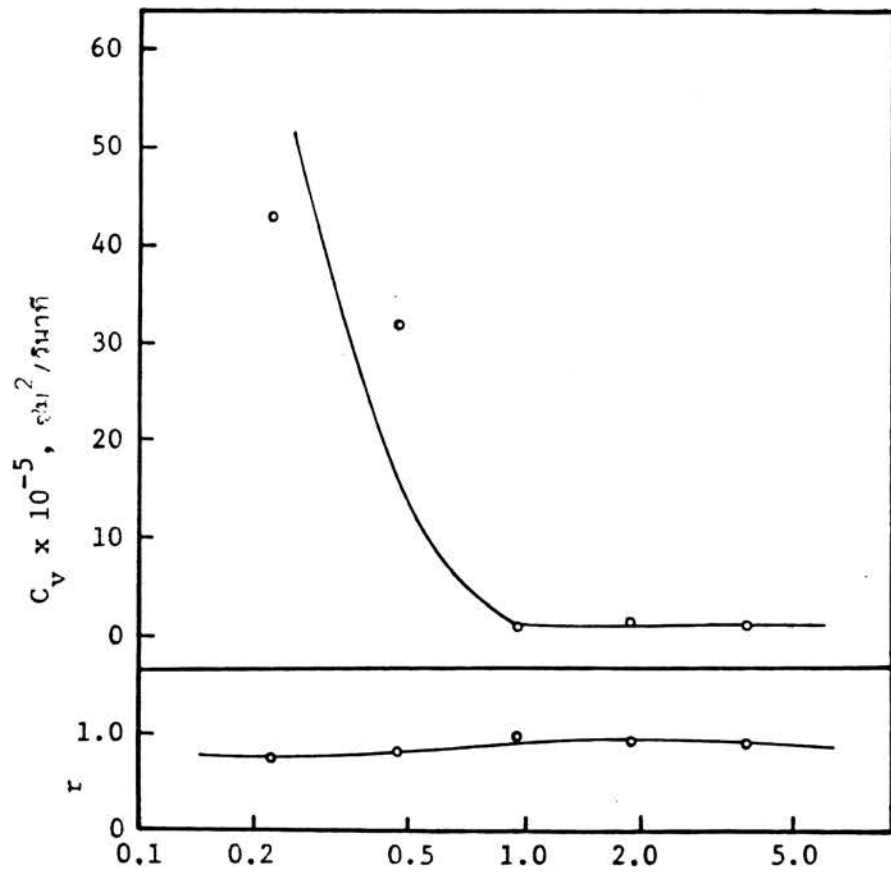
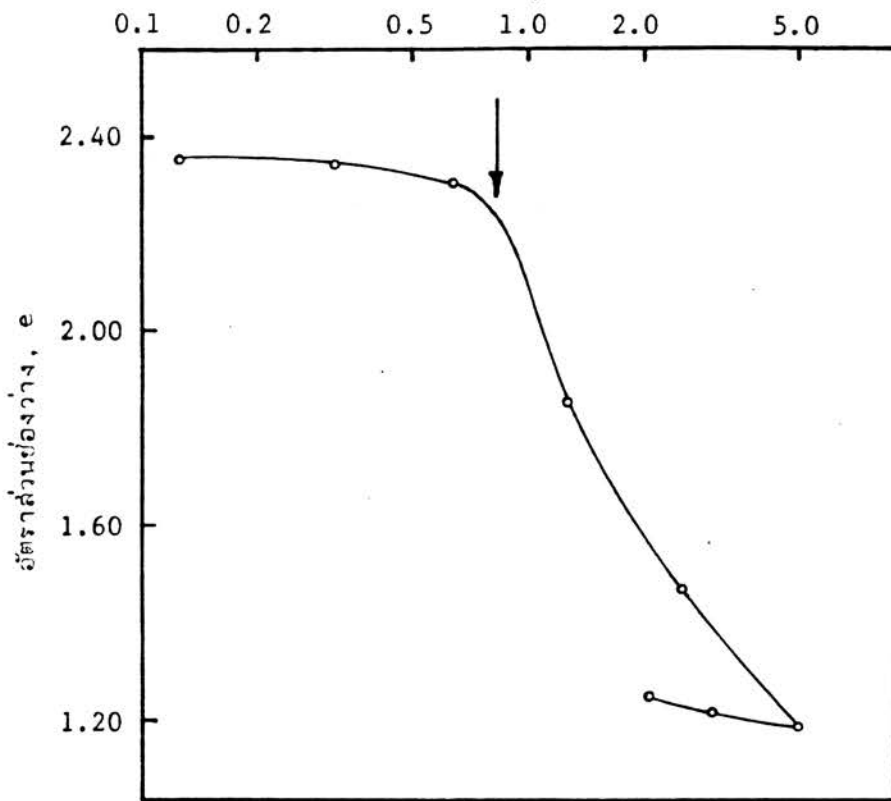


ค่าเฉลี่ยหน่วยแรงประสิทธิผลในแนวตั้ง, $\bar{\sigma}_{av}$, กก./ตร.ซม. (log scale)

การทดลอง		II-T-1
LID = t_{100}		LIR=1.00
เริ่มแรก	ปริมาณน้ำในมวลดิน%	86.94
	หน่วยน้ำหนักแห้ง ตัน/ลบ.ม.	0.813
	อัตราส่วนช่องว่าง	2.296
	ความอิ่มตัว %	100
	ความสูง, ซม.	7.00
สุดท้าย	ปริมาณน้ำในมวลดิน%	51.48
	หน่วยน้ำหนักแห้ง ตัน/ลบ.ม.	1.169
	อัตราส่วนช่องว่าง	1.293
	ความอิ่มตัว %	100
	ความสูง, ซม.	4.791
	ขีดเหลว, W_L %	89.20
ขีดเหลวลดิก, W_p %	37.49	
Sp. Gr., G	2.68	
สัมประสิทธิ์การกีดกัน C_c	1.339	
หน่วยแรงสูงสุดในออสโตส $\bar{\sigma}_{vm}$ กก./ตร.ซม.	0.90	
OCR	2.03	

ความลึก, เมตร	5.65
ดินตัวอย่าง	B-II-43
ประเภทของดิน	CH

หน่วยแรงประสิทธิผลในแนวตั้ง, $\bar{\sigma}_v$, กก./ตร.ซม. (log scale)



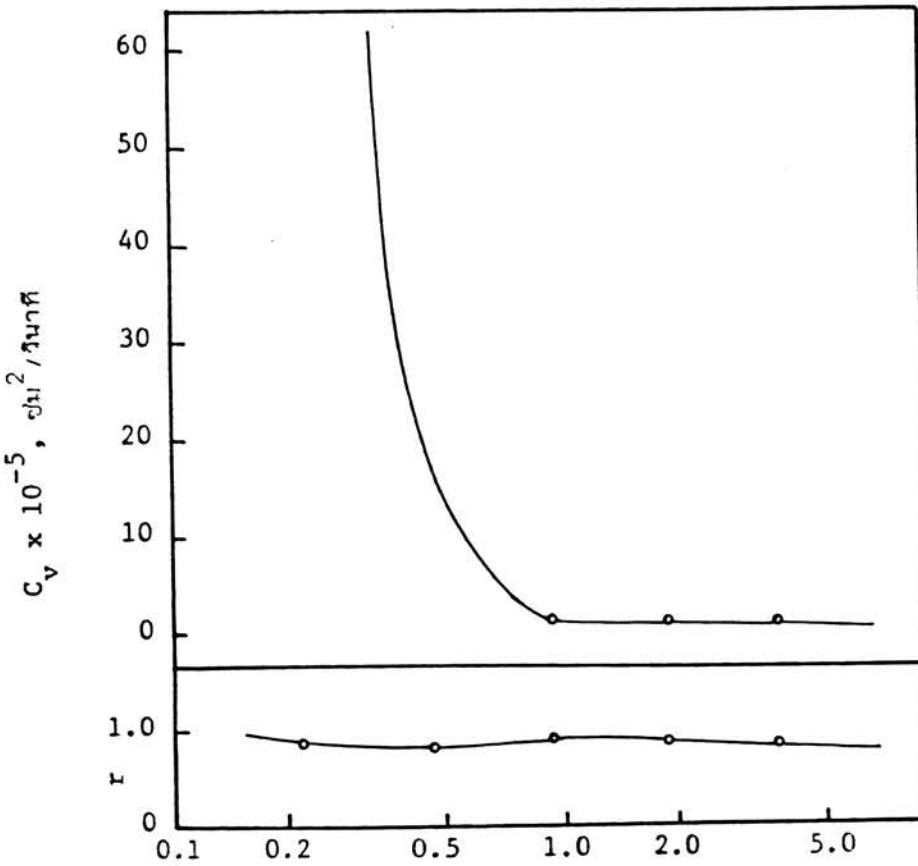
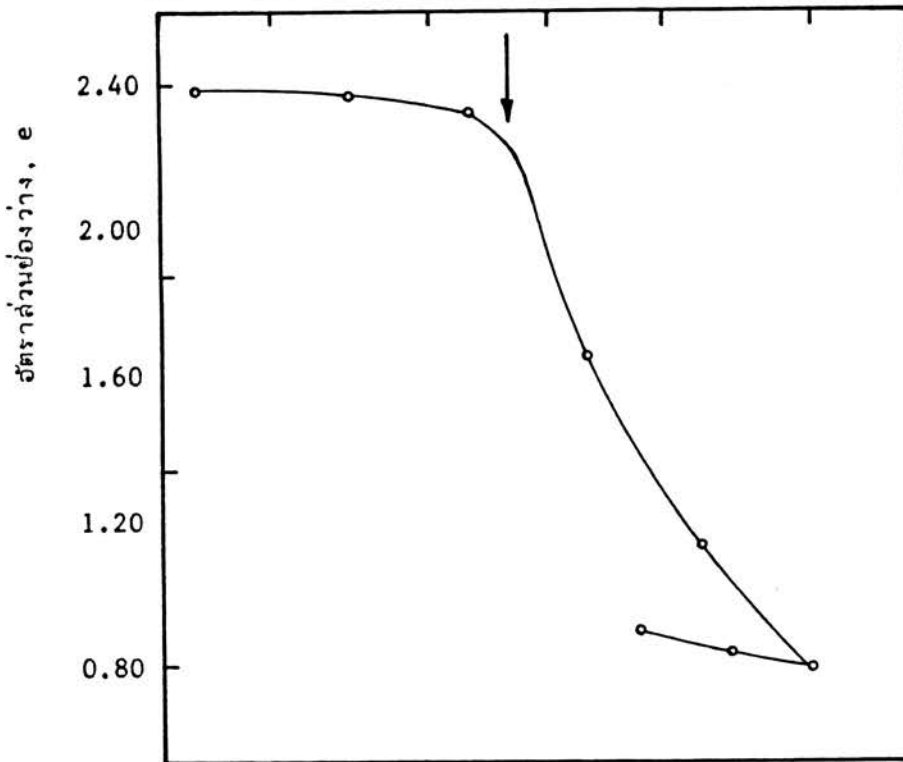
ค่าเฉลี่ยหน่วยแรงประสิทธิผลในแนวตั้ง, $\bar{\sigma}_{av}$, กก./ตร.ซม. (log scale)

การทดลอง		II-T-2
LID= 24 ซม.		LIR = 1.00
เริ่มแรก	ปริมาณน้ำในมวลดิน%	88.36
	หน่วยน้ำหนักแห้ง ตัน/ลบ.ม.	0.798
	อัตราส่วนช่องว่าง	2.358
	ความอิ่มตัว %	100
	ความสูง, ซม.	7.00
สุดท้าย	ปริมาณน้ำในมวลดิน%	49.70
	หน่วยน้ำหนักแห้ง ตัน/ลบ.ม.	1.192
	อัตราส่วนช่องว่าง	1.248
	ความอิ่มตัว %	100
	ความสูง, ซม.	4.684
ยึดเหลว, W_L %		88.40
ยึดพลาสติก, W_p %		38.73
Sp. Gr., G		2.68
ค่าพิกการกดอัด C_c		1.354
หน่วยแรงสูงสุดในออสติ $\bar{\sigma}_{vm}$ กก./ตร.ซม.		0.82
OCR		1.85

ความลึก, เมตร	5.65
ดินตัวอย่าง	B-II-39
ประเภทของดิน	OH

หน่วยแรงประสิทธิผลในแนวตั้ง, $\bar{\sigma}_v$, กก./ตร.ซม. (log scale)

0.1 0.2 0.5 1.0 2.0 5.0

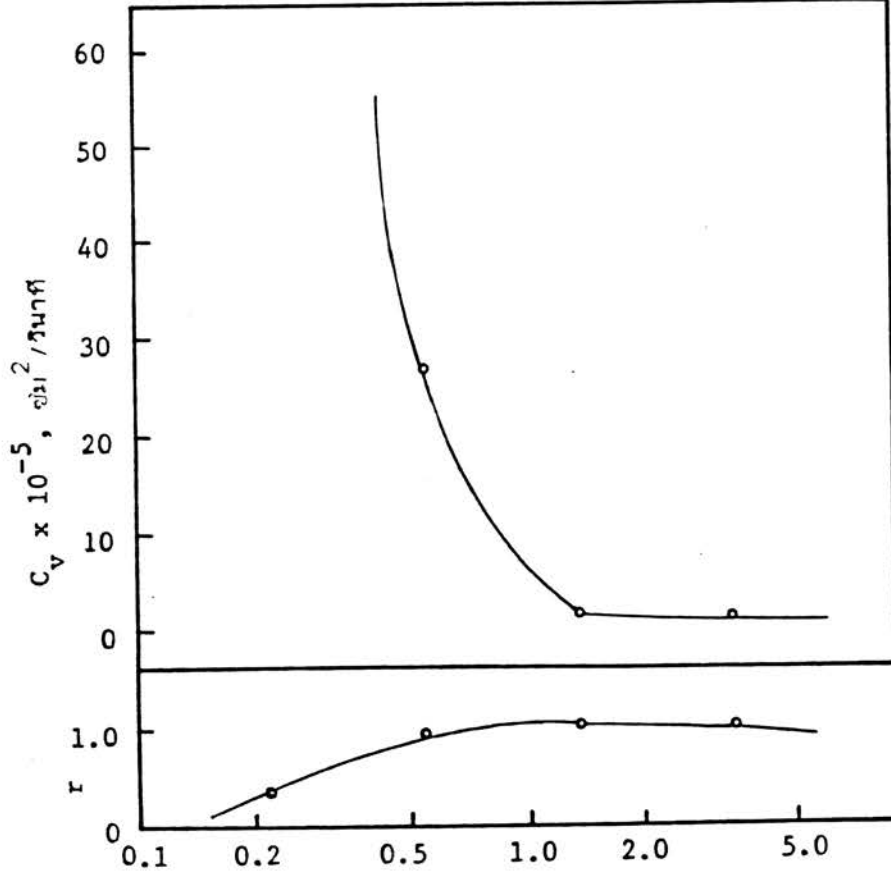
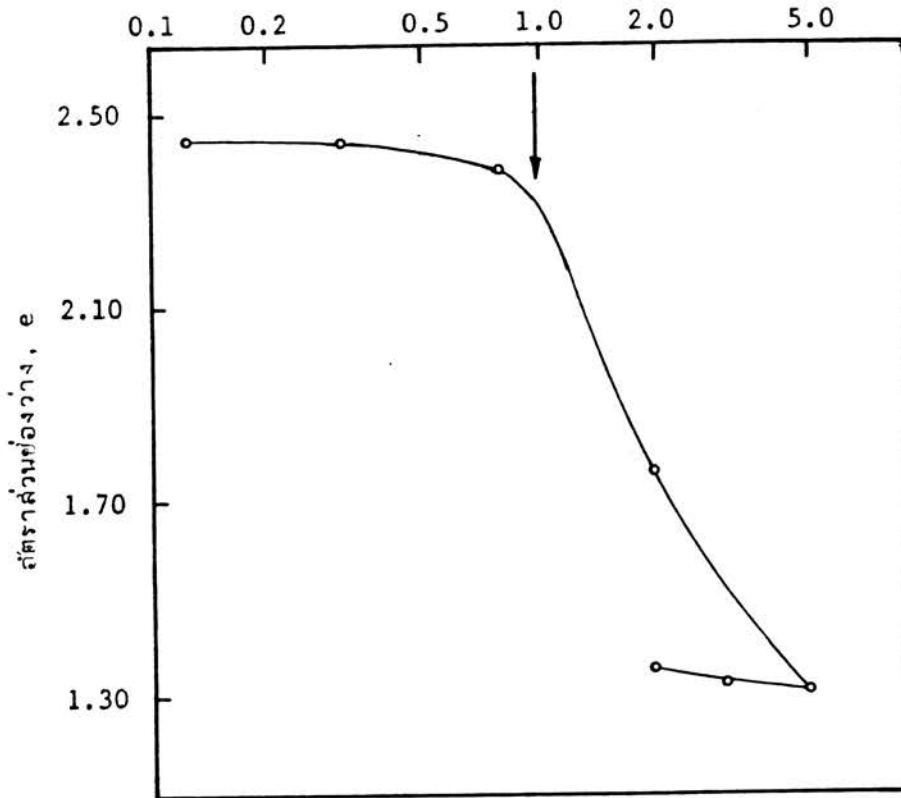


ค่าเฉลี่ยหน่วยแรงประสิทธิผลในแนวตั้ง, $\bar{\sigma}_{av}$, กก./ตร.ซม. (log scale)

การทดลอง		II-T-3
LID = 48 ซม.		LIR = 1.00
เริ่มแรก	ปริมาณน้ำในมวลดิน%	90.05
	หน่วยน้ำหนักแห้ง ดิน/ลบ.ม.	0.791
	อัตราส่วนช่องว่าง	2.390
	ความอิ่มตัว %	100
	ความสูง, ซม.	7.00
สุดท้าย	ปริมาณน้ำในมวลดิน%	49.60
	หน่วยน้ำหนักแห้ง ดิน/ลบ.ม.	1.178
	อัตราส่วนช่องว่าง	1.276
	ความอิ่มตัว %	100
	ความสูง, ซม.	4.594
ขีดเหลว, W_L %		89.50
ขีดพลาสติก, W_P %		41.01
Sp. Gr., G.		2.68
ดัชนีการกีดกัน C_c		1.362
หน่วยแรงสูงสุดในอักษ $\bar{\sigma}_{vm}$ กก./ตร.ซม.		0.78
OCR		1.76

ความลึก, เมตร	5.65
ดินตัวอย่าง	B-II-40
ประเภทของดิน	OH

หน่วยแรงประสิทธิผลในแนวตั้ง, $\bar{\sigma}_v$, กก./ตร.ซม. (log scale)

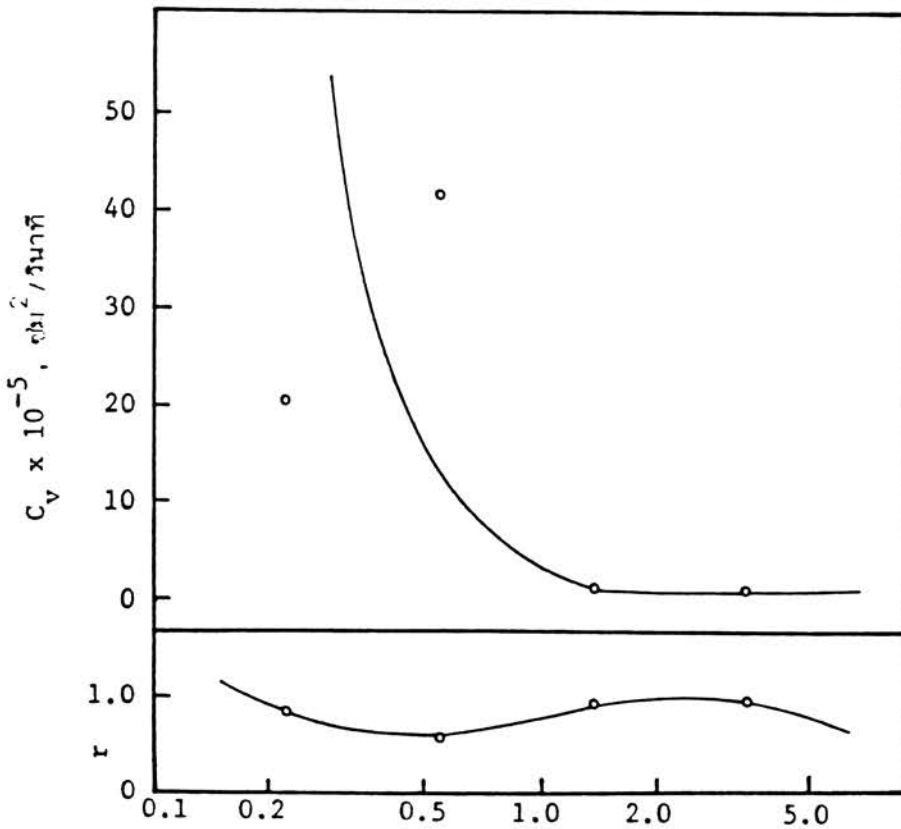
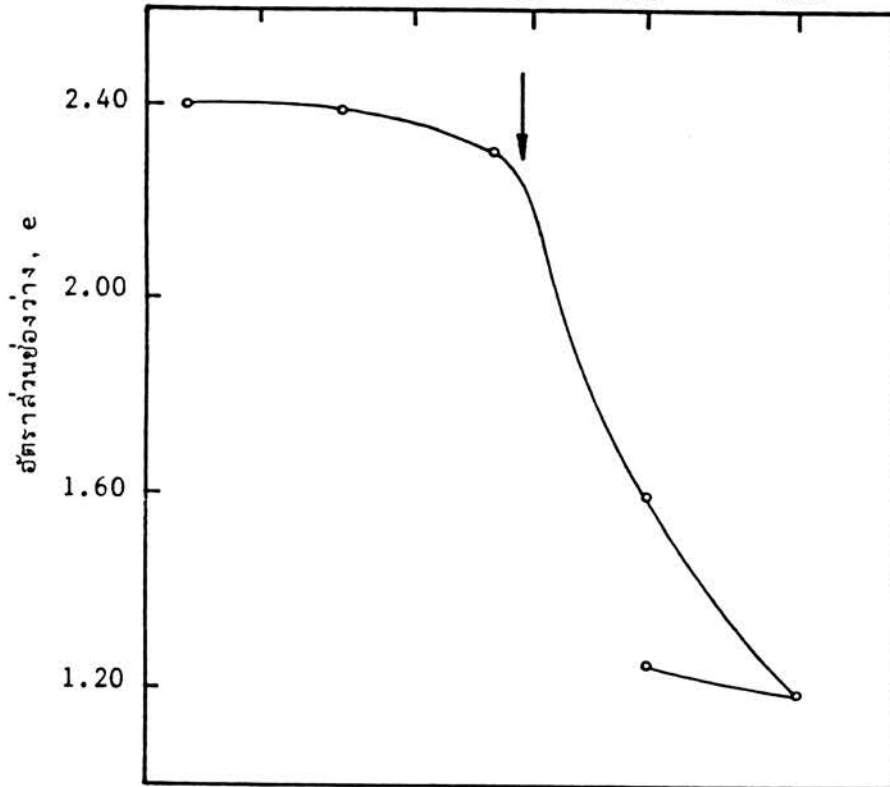


ค่าเฉลี่ยหน่วยแรงประสิทธิผลในแนวตั้ง, $\bar{\sigma}_{av}$, กก./ตร.ซม. (log scale)

การทดลอง		III-T-1
LID = 100		LIR = 1.50
เริ่มแรก	ปริมาณน้ำในมวลดิน%	92.22
	หน่วยน้ำหนักแห้ง ต้น/ลบ.ม.	0.775
	อัตราส่วนช่องว่าง	2.457
	ความอิ่มตัว %	100
	ความสูง, ซม.	7.00
เส้นผ่าศูนย์กลาง, ซม.		3.516
สุดท้าย	ปริมาณน้ำในมวลดิน%	53.63
	หน่วยน้ำหนักแห้ง ต้น/ลบ.ม.	1.133
	อัตราส่วนช่องว่าง	1.365
	ความอิ่มตัว %	100
	ความสูง, ซม.	4.869
อัตราเหลว, W_L %		93.20
อัตราพลาสติก, W_P %		39.68
Sp. Gr., G		2.68
สัมประสิทธิ์การกักอัด C_c		1.500
หน่วยแรงสูงสุดในออสโต. σ_{vm} กก./ตร.ซม.		0.94
OCR		2.12

ความลึก, เมตร	5.65
ดินตัวอย่าง	B-II-46
ประเภทของดิน	CH

หน่วยแรงประสิทธิผลในแนวตั้ง, $\bar{\sigma}_v$, กก./ตร.ซม. (log scale)

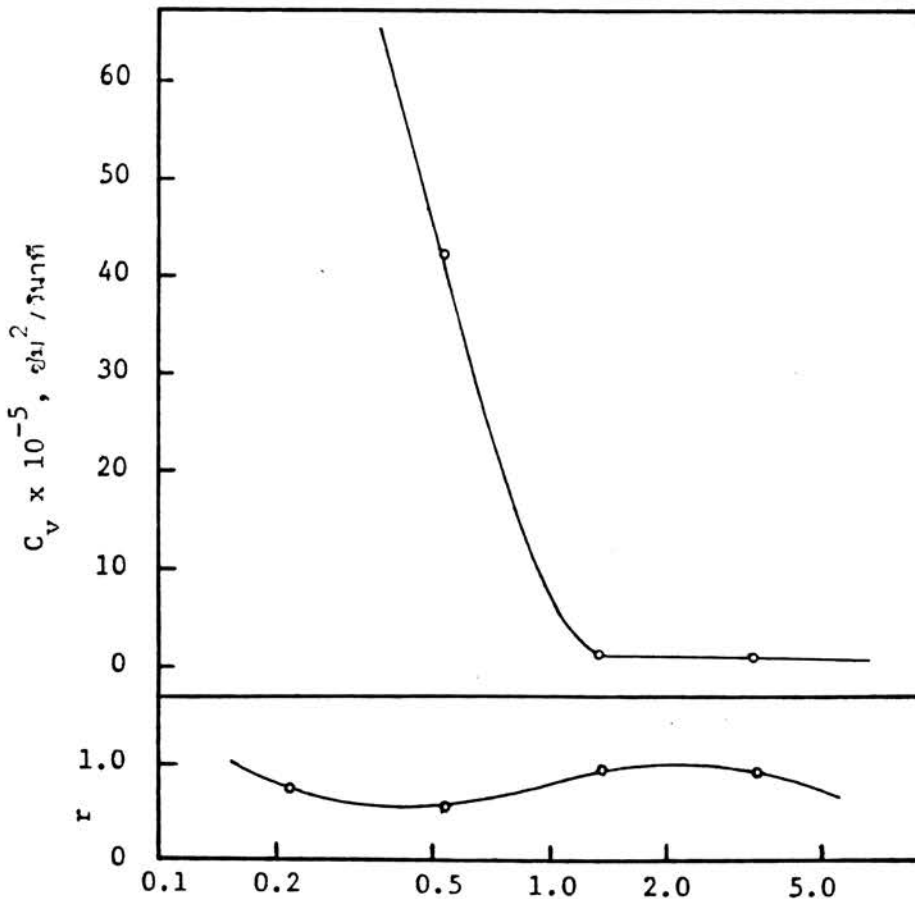
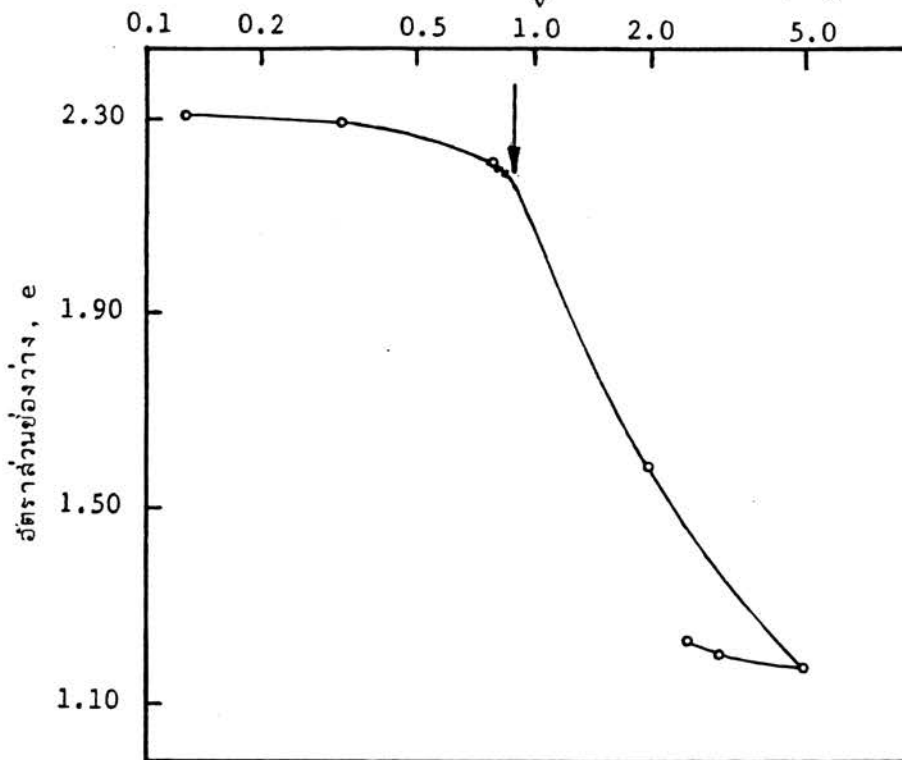


ค่าเฉลี่ยหน่วยแรงประสิทธิผลในแนวตั้ง, $\bar{\sigma}_{av}$, กก./ตร.ซม. (log scale)

การทดลอง		III-T-2
LID= 24 ซม.		LIR = 1.50
เริ่มแรก	ปริมาณน้ำในมวลดิน%	89.39
	หน่วยน้ำหนักแห้ง ตัน/ลบ.ม.	0.787
	อัตราส่วนช่องว่าง	2.405
	ความอิ่มตัว %	99.62
	ความสูง, ซม.	7.00
สุดท้าย	เส้นผ่าศูนย์กลาง, ซม.	3.511
	ปริมาณน้ำในมวลดิน%	46.67
	หน่วยน้ำหนักแห้ง ตัน/ลบ.ม.	1.191
	อัตราส่วนช่องว่าง	1.251
	ความอิ่มตัว %	100
ความสูง, ซม.		4.740
ยึดเหลว, W_L %		86.00
ยึดพลาสติก, W_p %		37.87
Sp. Gr., G		2.68
สัมประสิทธิ์การกดอัด C_c		1.502
หน่วยแรงสูงสุดในอดีต σ_{vm} กก./ตร.ซม.		0.88
OCR		2.00

ความลึก, เมตร	5.55
ดินตัวอย่าง	B-II-38
ประเภทของดิน	CH

หน่วยแรงประสิทธิผลในแนวตั้ง, $\bar{\sigma}_v$, กก./ตร.ซม. (log scale)

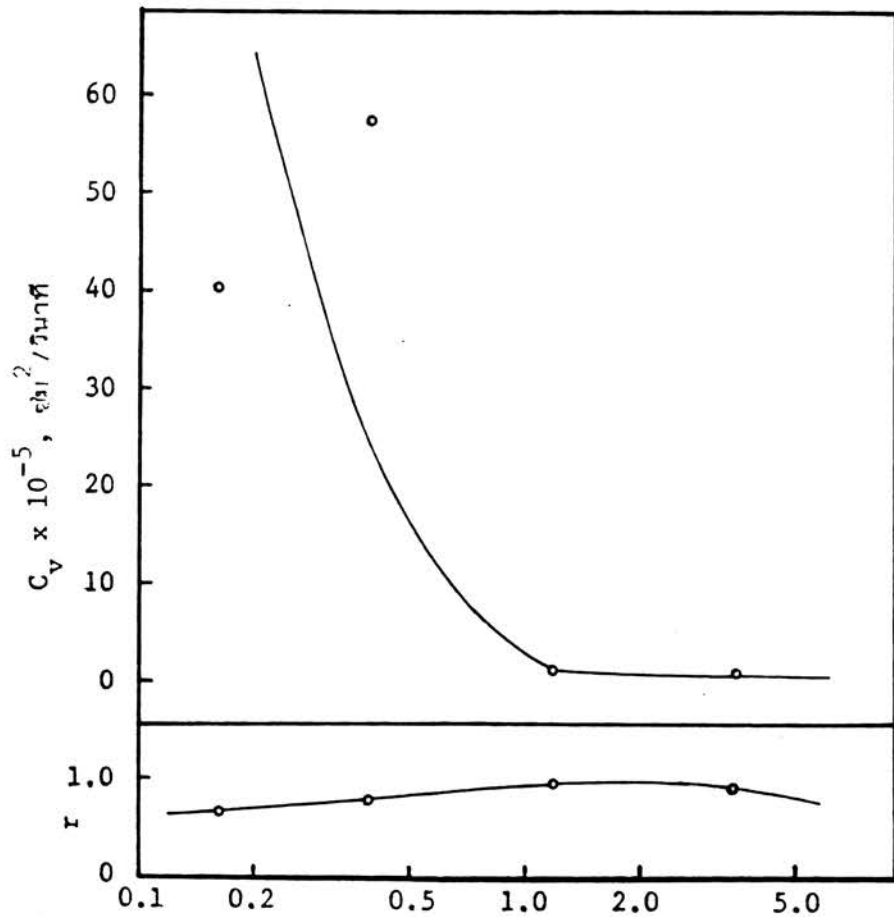
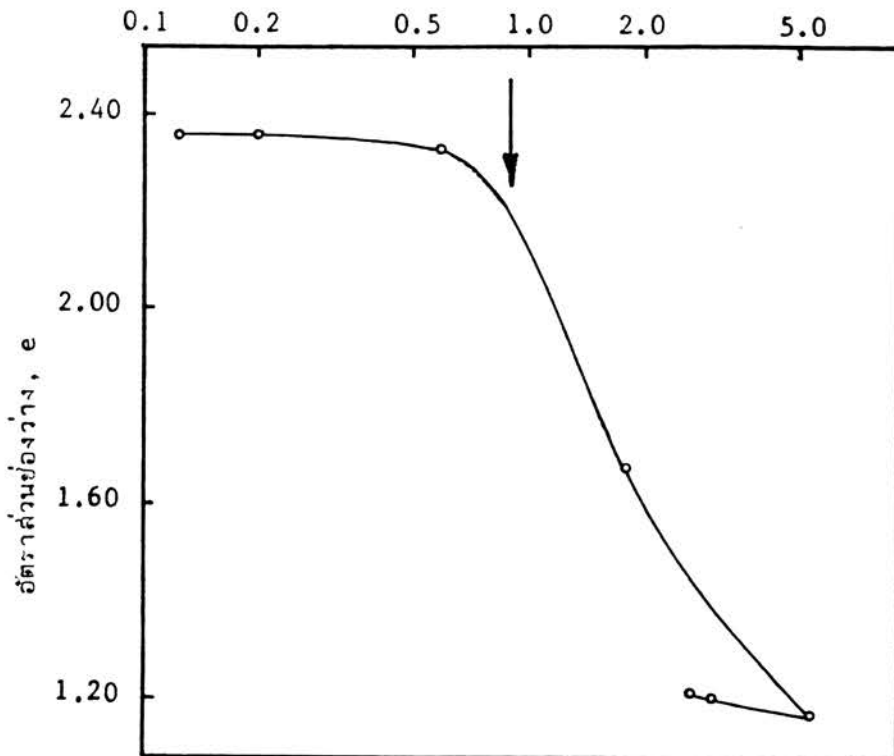


ค่าเฉลี่ยหน่วยแรงประสิทธิผลในแนวตั้ง, $\bar{\sigma}_{av}$, กก./ตร.ซม. (log scale)

การทดลอง		III-T-3
LID= 48 ซม.		LIR = 1.50
เริ่มแรก	ปริมาณน้ำในมวลดิน%	87.25
	หน่วยน้ำหนักแห้ง ดิน/ลบ.ม.	0.808
	อัตราส่วนช่องว่าง	2.316
	ความอิ่มตัว, %	100
	ความสูง, ซม.	7.00
สุดท้าย	เส้นผ่าศูนย์กลาง, ซม.	3.50
	ปริมาณน้ำในมวลดิน%	48.80
	หน่วยน้ำหนักแห้ง ดิน/ลบ.ม.	1.262
	อัตราส่วนช่องว่าง	1.123
	ความอิ่มตัว %	100
ความสูง, ซม.		4.555
น้ำหนัก, W_1 %		79.60
น้ำหนักพลาสติก, W_p %		36.95
Sp. Gr., G		2.68
สัมประสิทธิ์การกดอัด C_c		1.476
หน่วยแรงสูงสุดในออสิล $\bar{\sigma}_{vm}$ กก./ตร.ซม.		0.82
OCR		1.85

ความลึก, เมตร	5.65
ดินตัวอย่าง	B-II-41
ประเภทของดิน	OH

หน่วยแรงประสิทธิผลในแนวตั้ง, $\bar{\sigma}_v$, กก./ตร.ซม. (log scale)

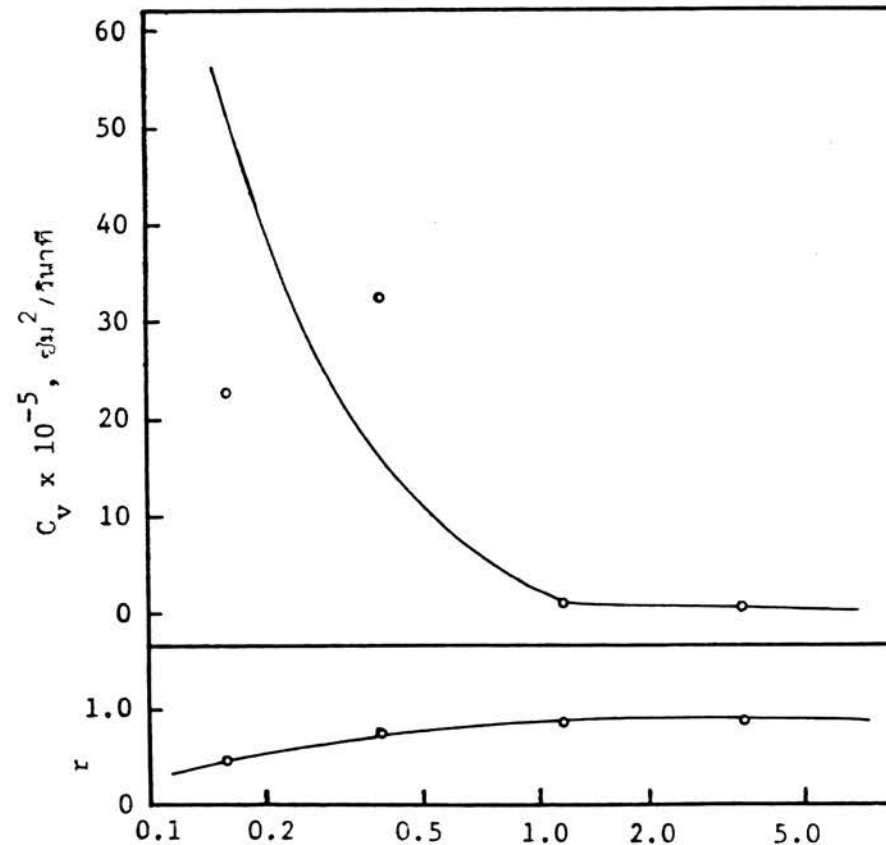
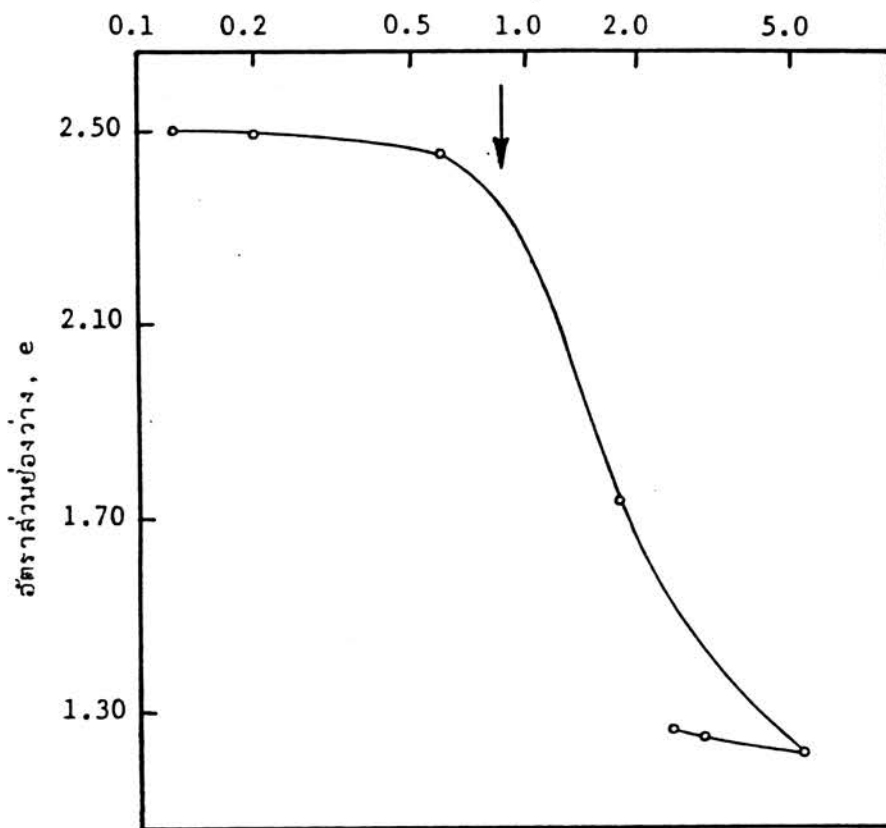


ค่าเฉลี่ยหน่วยแรงประสิทธิผลในแนวตั้ง, $\bar{\sigma}_{av}$, กก./ตร.ซม. (log scale)

การทดลอง		IV-T-2
LID= 24 ซม.		LIR = 2.00
เริ่มแรก	ปริมาณน้ำในมวลดิน%	89.28
	หน่วยน้ำหนักแห้ง ตัน/ลบ.ม.	0.793
	อัตราส่วนช่องว่าง	2.379
	ความอิ่มตัว %	100
	ความสูง, ซม.	7.00
สุดท้าย	ปริมาณน้ำในมวลดิน%	48.47
	หน่วยน้ำหนักแห้ง ตัน/ลบ.ม.	1.213
	อัตราส่วนช่องว่าง	1.209
	ความอิ่มตัว %	100
	ความสูง, ซม.	4.831
อัตราเหลว, W_L %		82.20
อัตราพลาสติก, W_P %		37.12
Sp. Gr., G.		2.68
ดัชนีการกีดกัน C_c		1.373
หน่วยแรงตั้งจุดในออคติ $\bar{\sigma}_{vm}$ กก./ตร.ซม.		0.83
OCR		1.87

ความลึก, เมตร	5.65
ดินตัวอย่าง	B-II-41
ประเภทดิน	CH

หน่วยแรงประสิทธิผลในแนวตั้ง, $\bar{\sigma}_v$, กก./ตร.ซม (log scale)



ค่าเฉลี่ยหน่วยแรงประสิทธิผลในแนวตั้ง, $\bar{\sigma}_{av}$, กก./ตร.ซม. (log scale)

การทดลอง		IV-T-3
LID= 48 ซม.		LIR = 2.00
เริ่มแรก	ปริมาณน้ำในมวลดิน%	94.01
	หน่วยน้ำหนักแห้ง ต้น/ลบ.ม.	0.764
	อัตราส่วนช่องว่าง	2.507
	ความอิ่มตัว %	100
	ความสูง, ซม.	7.00
สุดท้าย	ปริมาณน้ำในมวลดิน%	50.26
	หน่วยน้ำหนักแห้ง ต้น/ลบ.ม.	1.181
	อัตราส่วนช่องว่าง	1.269
	ความอิ่มตัว %	100
	ความสูง, ซม.	4.658
ยึดเหลว, W_L %		87.50
ยึดพลาสติก, W_p %		38.32
Sp. Gr., G.		2.68
ศักยภาพการกักอัด C_c		1.454
หน่วยแรงสูงสุดในอดีต σ_{vm} กก./ตร.ซม.		0.82
OCR		1.87

ความลึก, เมตร	5.55
ดินตัวอย่าง	B-II-30
ประเภทดิน	CH

ประวัติผู้เขียน

นาย ไพฑูลย์ วิชาณะ เกิดวันที่ 29 พฤศจิกายน 2501 ที่อำเภอเกษตรวิสัย
จ.ร้อยเอ็ด สำเร็จการศึกษาระดับมัธยมศึกษาตอนปลาย จากโรงเรียนกุนนทีสุทธารามวิทยาคม
เมื่อ พ.ศ. 2518 สำเร็จการศึกษาระดับปริญญาตรี สาขาวิศวกรรมโยธา จากจุฬาลง-
กรณ์มหาวิทยาลัย เมื่อ พ.ศ. 2522 เคยรับราชการที่ สำนักงานนโยบายและแผนมหาดไทย
กระทรวงมหาดไทย และทำงานที่บริษัทไทยเอ็นอีเนียร์ริ่ง คอนซัลแตนท์ จำกัด ปัจจุบันรับราชการ
อยู่ที่ สำนักงานการปฏิรูปที่ดินเพื่อเกษตรกรรม กระทรวงเกษตรและสหกรณ์

